



## Das Forth-Magazin

*für Wissenschaft und Technik, für kommerzielle EDV,  
für MSR-Technik, für den interessierten Hobbyisten*

In dieser Ausgabe:



RISC-V  
Assembler, Disassembler und  
Simulator

ASCII-Art fürs Analoge: Das  
Signallabor

Pictured Numeric Output

Print Hex

Nachlese zum Forth-Sommertreffen





**Fahrtregler - Lichtanlagen - Soundmodule - Modellfunk**

**tematik GmbH  
Technische  
Informatik**

Feldstraße 143  
D-22880 Wedel  
Fon 04103 - 808989 - 0  
Fax 04103 - 808989 - 9  
mail@tematik.de  
<http://www.tematik.de>

Seit 2001 entwickeln und vertreiben wir unter dem Markennamen „Servonaut“ Baugruppen für den Funktionsmodellbau wie Fahrtregler, Lichtanlagen, Soundmodule und Funkmodule. Unsere Module werden vorwiegend in LKW-Modellen im Maßstab 1:14 bzw. 1:16 eingesetzt, aber auch in Baumaschinen wie Baggern, Radladern etc. Wir entwickeln mit eigenen Werkzeugen in Forth für die Freescale-Prozessoren 68HC08, S08, Coldfire sowie Atmel AVR.

## Forth-Schulungen

Möchten Sie die Programmiersprache Forth erlernen oder sich in den neuen Forth-Entwicklungen weiterbilden? Haben Sie Produkte auf Basis von Forth und möchten Mitarbeiter in der Wartung und Weiterentwicklung dieser Produkte schulen?

Wir bieten Schulungen in Legacy-Forth-Systemen (FIG-Forth, Forth83), ANSI-Forth und nach den neusten Forth-200x-Standards. Unsere Trainer haben über 20 Jahre Erfahrung mit Forth-Programmierung auf Embedded-Systemen (ARM, MSP430, Atmel AVR, M68K, 6502, Z80 uvm.) und auf PC-Systemen (Linux, BSD, macOS und Windows).

Carsten Strotmann [carsten@strotmann.de](mailto:carsten@strotmann.de)  
<https://forth-schulung.de>

## RetroForth

Linux · Windows · Native  
Generic · L4Ka::Pistachio · Dex4u  
**Public Domain**  
<http://www.retroforth.org>  
<http://retro.tunes.org>

Diese Anzeige wird gesponsort von:  
EDV-Beratung Schmiedl, Am Bräuweiher 4,  
93499 Zandt



**Cornu GmbH  
Ingenieurdienstleistungen  
Elektrotechnik**

Weitlstraße 140  
80995 München  
[sales@cornu.de](mailto:sales@cornu.de)  
[www.cornu.de](http://www.cornu.de)

Unser Themenschwerpunkt ist automotive SW unter AutoSAR. In Forth bieten wir u. a. Lösungen zur Verarbeitung großer Datenmengen, Modultests und modellgetriebene SW, z. B. auf Basis eCore/EMF.

## KIMA Echtzeitsysteme GmbH

Güstener Straße 72 52428 Jülich  
Tel.: 02463/9967-0 Fax: 02463/9967-99  
[www.kimaE.de](http://www.kimaE.de) [info@kimaE.de](mailto:info@kimaE.de)

Automatisierungstechnik: Fortgeschrittene Steuerungen für die Verfahrenstechnik, Schaltanlagenbau, Projektierung, Sensorik, Maschinenüberwachungen. Echtzeitsystemen: für Werkzeug- und Sondermaschinen, Fuzzy Logic.

## FORTECH Software GmbH

Tannenweg 22 m D-18059 Rostock  
<https://www.fortech.de/>

Wir entwickeln seit fast 20 Jahren kundenspezifische Software für industrielle Anwendungen. In dieser Zeit entstanden in Zusammenarbeit mit Kunden und Partnern Lösungen für verschiedenste Branchen, vor allem für die chemische Industrie, die Automobilindustrie und die Medizintechnik.

**Ingenieurbüro  
Klaus Kohl-Schöpe** Tel.: (0 82 66)-36 09 862  
Prof.-Hamp-Str. 5  
D-87745 Eppishausen

FORTH-Software (volksFORTH, KKFORH und viele PD-Versionen). FORTH-Hardware (z. B. Super8) und Literaturservice. Professionelle Entwicklung für Steuerungs- und Messtechnik.

## Mikrocontroller-Verleih Forth-Gesellschaft e. V.

Wir stellen hochwertige Evaluation-Boards, auch FPGA, samt Forth-Systemen zur Verfügung: Cypress, RISC-V, TI, MicroCore, GA144, SeaForth, MiniMuck, Zilog, 68HC11, ATMEL, Motorola, Hitachi, Renesas, Lego ...  
<https://wiki.forth-ev.de/doku.php/mcv:mcv2>

Leserbriefe und Meldungen	5
<b>RISC-V</b> <b>Assembler, Disassembler und Simulator</b>	12
<i>Klaus Kohl-Schöpe</i>	
<b>ASCII-Art fürs Analoge: Das Signallabor</b>	16
<i>Matthias Koch</i>	
<b>Pictured Numeric Output</b>	27
<i>Michael Kalus</i>	
<b>Print Hex</b>	33
<i>Colaboration in Forth Works, Albert Nijhof and Ulrich Hoffmann</i>	
<b>Nachlese zum Forth-Sommertreffen</b>	36
<i>M. Kalus</i>	



## Impressum

Name der Zeitschrift  
**Vierte Dimension**

### Herausgeberin

Forth-Gesellschaft e. V.  
Postfach 1030  
48481 Neuenkirchen  
E-Mail: [Secretary@forth-ev.de](mailto:Secretary@forth-ev.de)  
[Direktorium@forth-ev.de](mailto:Direktorium@forth-ev.de)  
Bankverbindung: Postbank Hamburg  
BLZ 200 100 20  
Kto 563 211 208  
IBAN: DE60 2001 0020 0563 2112 08  
BIC: PBNKDEFF

### Redaktion & Layout

Bernd Paysan, Ulrich Hoffmann  
E-Mail: [4d@forth-ev.de](mailto:4d@forth-ev.de)

### Anzeigenverwaltung

Büro der Herausgeberin

### Redaktionsschluss

Januar, April, Juli, Oktober jeweils  
in der dritten Woche

### Erscheinungsweise

1 Ausgabe / Quartal

### Einzelpreis

4,00 € + Porto u. Verpackung

### Manuskripte und Rechte

Berücksichtigt werden alle eingesandten Manuskripte. Leserbriefe können ohne Rücksprache wiedergegeben werden. Für die mit dem Namen des Verfassers gekennzeichneten Beiträge übernimmt die Redaktion lediglich die presserechtliche Verantwortung. Die in diesem Magazin veröffentlichten Beiträge sind urheberrechtlich geschützt. Übersetzung, Vervielfältigung, sowie Speicherung auf beliebigen Medien, ganz oder auszugsweise nur mit genauer Quellenangabe erlaubt. Die eingereichten Beiträge müssen frei von Ansprüchen Dritter sein. Veröffentlichte Programme gehen — soweit nichts anderes vermerkt ist — in die Public Domain über. Für Text, Schaltbilder oder Aufbauskizzen, die zum Nichtfunktionieren oder eventuellem Schadhaftwerden von Bauelementen führen, kann keine Haftung übernommen werden. Sämtliche Veröffentlichungen erfolgen ohne Berücksichtigung eines eventuellen Patentschutzes. Warennamen werden ohne Gewährleistung einer freien Verwendung benutzt.

## Liebe Leser,

Das Forth-Sommertreffen im Linuxhotel Essen vom 15.–17. Juli diesen Jahres war sehr angenehm. Sich so ungezwungen austauschen zu können, finde ich immer noch am besten. Da wir alle in der Welt verstreut arbeiten, ist Telekommunikation nötig, das ist klar. Doch ein persönlicher Kontakt hin und wieder verbindet besser, finde ich. Daher bin ich gespannt, ob wir auch 2023 wieder eine Zusammenkunft haben werden. Gewünscht wurde es in der Runde, wieder im früheren Rhythmus soll es auch sein, also so um Ostern herum. Wer es dann wo macht, ist noch offen. Haltet die Augen offen. Auf [www.forth-ev.de](http://www.forth-ev.de) wirds stehen.

RISC-V zieht Kreise auf FPGAs. „Willst du einen Prozessor richtig kennenlernen, schreib einen Disassembler dafür!“, hat mal ein weiser Programmierer gesagt. KLAUS KOHL-SCHÖPE hat's gemacht, in Forth versteht sich, Basisarbeit sozusagen. Damit Forth überall Verbreitung findet.

Künstler sind oft Vordenker, Wegbereiter. MATTHIAS KOCH ließ sich inspirieren von der ASCII-Art. Und fand, dass man auf diese Weise auch prima technische Darstellungen schaffen kann, ganz ohne graphische Oberflächen.

Die COLABORATION IN FORTH WORKS, ALBERT NIJHOF AND ULRICH HOFFMANN haben einen Weg gefunden, auf sehr kleinen MCUs die Ziffernausgabe zu ermöglichen. Nur HEX, aber erstaunlich einfach!

Die kompliziertere Variante der Zifferndarstellung mit allem Drum und Dran hat Gforth. Dem bin ich mal nachgegangen und habe dabei Erstaunliches gelernt: Von der Vorstellung einer Zahl im menschlichen Hirn zu deren Darstellung im Elektronengehirn und die Übermittlung von Zahlen zwischen Hirnen, auch elektronischen, war ein langer Weg. Dieser kulturelle Akt ist nicht trivial. Aber fundamental. Systemrelevant, sagt man da heute wohl, hüben wie drüben. Das zu verstehen, dazu bietet das aktuelle Gforth 0.7.9 prima Werkzeuge.

Eine besondere Anerkennung sprach PHILIP ZEMBROD aus: „Nachdem ich die letzte VD dann in der Hand hielt und meinen Beitrag *Unboxing Swappy* nochmal gelesen hatte, fand ich, daß eine Sache nicht so ganz deutlich herauskam, nämlich was für eine herausragende Arbeit WOLFGANG STRAUSS mit der neuen Drachen-Transportbox geleistet hat. Das ist wirklich, wie man im Englischen so schön sagen kann, above and beyond, und dafür möchte ich dir, lieber Wolfgang, an dieser Stelle noch einmal ganz herzlich und im Namen aller danken!“ (Du sprichst mir aus der Seele, Philip, zumal ich ja derjenige war, der damals Swappy so leichtfertig im Pappkarton der Post überlassen hat — mit den bekannten Folgen.)

Und eine traurige Nachricht gibt es leider auch: DR. CHEN-HANSON TING ist verstorben. Er hinterlässt uns eForth, bestens dokumentiert. Ein kultureller Schatz. Im Heft mehr dazu.

Euer Michael



Die Quelltexte in der VD müssen Sie nicht abtippen. Sie können sie auch von der Web-Seite des Vereins herunterladen.

<http://fossil.forth-ev.de/vd-2022-03>

Die Forth-Gesellschaft e. V. wird durch ihr Direktorium vertreten:

Ulrich Hoffmann   Kontakt: [Direktorium@Forth-ev.de](mailto:Direktorium@Forth-ev.de)  
Bernd Paysan  
Gerald Wodni

## Mr. Chen–Hanson Ting verstorben

August 29, 1939 — May 30, 2022



Abbildung 1: Chen–Hanson Ting

Die Nachricht von Dr. Tings Ableben erreichte uns kurz nach Redaktionsschluss des vorherigen Heftes, zunächst über Facebook, dann aber auch über die Veröffentlichung des Bestatters.

„Obituary for Mr. Chen–Hanson Ting.

It is with great sadness that we announce the passing of Chen–Hanson Ting on May 30, 2022, in San Mateo, California. Mr. Ting was born in China and is survived by a spouse and children.

Arrangements have been entrusted to the care of Skylawn Funeral Home & Memorial Park, Hwy 92 at Skyline Blvd., San Mateo, CA 94402.“ [Quelle: <https://www.skylawnmemorialpark.com/obituaries/Chen-Hanson-Ting/#!/Obituary>]

So mussten wir es also glauben. Ein erster Nachruf auf `comp.lang.forth` kam von DIRK BRÜHL:

„In Memory to Dr. Chen–Hanson Ting.

Do you Remember RSC–FORTH in 1984? Shortly after there was Chuck Moore’s NOVIX 16–bit microprocessor available, and the first story about this microprocessor was written by Dr. Chen–Hanson Ting: *Footsteps in an empty valley*, 1986, eloquently written, a book everybody should have read to discover what it is all about. Over the years Dr. Chen–Hanson Ting supported the Forth–Community with all his heart. He even did the last international Forth Zoom conferences from the hospital room. He filled a bookshelf with Forth literature, especially with his eForth and all it’s

portations to different microprocessors. He was a genius. He got all the skills to do this work.

He is one of the giants on whose shoulders we are standing now.

He left us too early, fighting for his life and for his Forth Community with his goal *Zen of Forth* until his end.

I invite everybody who worked with him to tell our Forth Community about this experience.

Rest In Peace, Chen!“

Wir haben uns nicht persönlich getroffen, Deutschland und Kalifornien liegen weit auseinander. Im Zeitalter des Internet und von E–Mail fand aber ab und zu ein Austausch statt über sein eForth für den MSP430G2553. Es ging damals um die Frage, welche Implementation die schnellsten Ausführungszeiten und den dichtesten Code erlauben würden, und wir kamen überein, dass es ein „direkt threaded Forth code“ sein müsste. Das `next` wird dann kurz und schnell, weil der Instruktionssatz dieser 16–Bit–Maschine dafür wie gemacht ist und ein Forth–Token nur 16 Bit erfordert.

```
mov @ip+,pc ; fetch code address into PC
```

Und weil er der Auffassung war, alles so einfach wie möglich zu halten, gab es daraufhin den eForth–Kern als ein simples Assembler–File, nichteinmal die Header der Forthworte wurden von Macros generiert, nein, alles „handcoded“, frei von den Abhängigkeiten eines speziellen Assemblers, er wechselte von IAR nach CCS und von dort ging es auch ohne IDE mit einfachem Werkzeug wie dem Naken–Assembler zu übersetzen, anstandslos. Der Programmierer selbst muss allerdings wissen, wie sein eForth werden soll und sich darin gut auskennen. Doch weil eForth so unkompliziert gemacht ist, kann man es gut schaffen, das vollständig zu durchschauen.

So denke ich immer an Dr. Ting, sobald es ans Werkeln mit dem MSP430 geht, und danke ihm für dieses große Geschenk.

Im *Zen of LaunchPad*<sup>1</sup> schrieb er dazu:

„The most interesting aspect of Forth is that it retains names of commands in memory. Most other programming languages throw away the names after code is compiled. Names were only temporary devices used for the convenience of the programmer in the process of programming, and they are of no value in the final product. In a living and growing computing system, just like in natural languages, names are representations of intelligence and are the only vehicles for thinking, reasoning, abstraction, communication, and accumulation of knowledge and technology. Lao–Tze was the first person who realized the significance of names along with Tao. He had profound understanding of nature, and perhaps, computers. He opened his Tao–Te Ching with some profound statements.

<sup>1</sup> Version 4.3, Offete Enterprises, Inc., 2015





Nobody really knows what he's talking about, but I do, because I think he was talking about computers. I will show you my translation and my interpretation. The Chinese text was based on a recently (1973) excavated version of Tao-Te Ching, similar to but not the same as you find in your local library.

道可道也，非恆道也。 Eternal Tao cannot be spoken, 名可名也，非恆名也。 Eternal name cannot be named.

無名萬物之始也； In the beginning, Tao has no name, 有名萬物之母也。 But, Name is the mother of everything.

故恆無欲也，以觀其眇； Tao is manifested by its actions, 恆有欲也，以觀其所嚮。 Name reveals the nature of Tao.

兩者同出，異名同胃， Tao and Name are one and same,

玄之有玄，眾眇之門。 Uttermost profound, mystery of mysteries!

Lao-Tze was talking about Tao and Name. Tao as Nature, can be observed. To understand Tao, and to communicate Tao, we need Names. I think he was actually talking about computers and firmware engineering. A computer has two components. It has programs which can do wonderful things beyond human comprehension. Programs are best modularized and constructed in nested lists. If all modules and lists are given proper names, programs can be constructed, debugged, understood, and used most efficiently by human.“

Wer verstehen will, wie man (s)ein Forth machen kann, wird bei ihm fündig. mka

### Meta-, Cross-, Target-Compiler ... ?

Beginnen wir mit einem Zitat:

„This leads to possibilities of fully interactive metacompilation, where words can be compiled one at a time in the target, tested individually, forgotten, and redefined ... making the metacompiler environment every bit as interactive as a normal Forth system! ... First Rule of Metacompiler Design: Always keep in mind what the result should look like!“ [FD V05N3<sup>2</sup> Rodriguez, R. J.]

So gibt es nicht *den* einen Metacompiler, sondern immer nur *den speziell angefertigten*, der genau das erzeugt, was man im Zielsystem (target) dann haben will.

*Metacompiling* ist also ein Konzept, das variiert werden muss für den jeweiligen Zweck.

Was die Terminologie angeht, scheint die bis heute in der Forth Community recht konsistent zu sein. Henry Laxen:

<sup>2</sup> Forth Dimension, Volume 05, Number 3

<sup>3</sup> Was immer du zu Forth wissen willst, frag Klaus. Was in seinem Archiv nicht ist, gibt's auch nicht auf der Welt, hab ich so den Eindruck. :)

„In one sentence, Meta Compiling in FORTH is a process in which FORTH code is compiled in one environment and executed in another. The environment in which the code is compiled is called the HOST system. The environment in which the code compiled by the Meta Compiler will finally execute is called the TARGET system.“ [FD V04N6, Techniques Tutorial, Meta Compiling I, Henry Laxen]

Die Begriffe HOST und TARGET haben wohl alle Autoren beibehalten. Die Bezeichnungen für *ihren* jeweiligen Metacompiler hingegen variieren: FORTH INC. nennt es einen *Target Compiler*, BRAD RODRIGUEZ' ist ein *Image Compiler*, und *Cross Compiler* hab ich auch schon mal irgendwo gelesen. Mit der Bezeichnung *Cross* wird da besonders betont, dass das neue Zielsystem ja eine ganz andere Hardware hat, mit völlig anderem Befehlssatz als der des Host, weshalb man auch noch einen eigenen Assembler für das neue Target machen muss, damit die basalen Forth-Routinen auch im neuen Forth-Kernel schnell werden.

Also, was wird da nun gemacht? Es sind immer diese vier Schritte:

- man studiere, was erzeugt werden soll (Target)
- man nehme sein Lieblingsforth (Native System)
- damit programmiert man all das, was es braucht (Host), um das Image im Target zu erstellen (und weil man in Forth beim Programmieren ja kompiliert, ist das, was man damit dann für das Target kompiliert, eben „meta“)
- man erzeugt damit ein neues „Image“ für das Target.

Beim direkten Zusammenstellen von Maschineninstruktionen spricht man traditionell von „assemblieren“, aber „compilieren“ wird dafür genommen, wenn man Macros zusammenstellt. Und höhere Programmiersprachen gehen dann dazu über, solche Module in hübsche Anweisungen für ihren darunter liegenden „Compiler“ zu verpacken — der „Syntactical Sugar“ [WIL BADEN].

Solche Compiler-Compiler sind durchaus Trend: modulare Systeme, mit deren Hilfe sich Compiler machen lassen. In Forth ist das ein alter Hut, oder?

mka

### Links

KLAUS KOHL-SCHÖPE<sup>3</sup> hat eine Literaturliste dazu beigesteuert. Herzlichen Dank, Klaus.

[https://arduino-forth.com/article/FORTH\\_metacompilation\\_intro](https://arduino-forth.com/article/FORTH_metacompilation_intro)

<http://www.ultratechnology.com/meta.html>

[https://arduino-forth.com/article/FORTH\\_metacompilation\\_intro](https://arduino-forth.com/article/FORTH_metacompilation_intro)

<https://www.bradrodriguez.com/papers/moving4>.

htm  
<https://howerj.github.io/embed/meta.htm>  
[https://www.reddit.com/r/Forth/comments/8e4j57/metacompiler\\_howto\\_and\\_small\\_eforth\\_interpreter/](https://www.reddit.com/r/Forth/comments/8e4j57/metacompiler_howto_and_small_eforth_interpreter/)  
<http://www.mcforth.net/> – siehe SmallFORTH

## Compiler–Compiler: CLANG und LLVM

Bei Texas Instruments ist man derzeit optimistisch bis euphorisch:

„TI Arm *Clang* is a new set of compiler tools for TI Arm Cortex microcontrollers and represents the future of the TI Arm compiler. This new toolchain is based on the *LLVM* project and uses Clang as the C/C++ front end. Ultimately this new toolchain will help customers produce more efficient applications ...“ [<https://e2e.ti.com/blogs...>]

Aha, LLVM?

„LLVM is an open–source project that is a collection of modular and reusable compiler toolchain technologies. In essence, it is an initiative consisting of building blocks for creating compilers. ... The LLVM Foundation is a 501(c)(3) nonprofit<sup>4</sup> whose mission is to support education and advancement of the field of compilers and tools through educational events, grants and scholarships, and increasing diversity with the field of compilers, tools, and the LLVM project. We have established 3 main programs: Educational Outreach, Grants & Scholarships, Diversity and Inclusion. ...“ [<https://foundation.llvm.org/>]

Eine interessante Sache, so ein Compiler–Compilerbau. mka

## Neues von GreenArrays

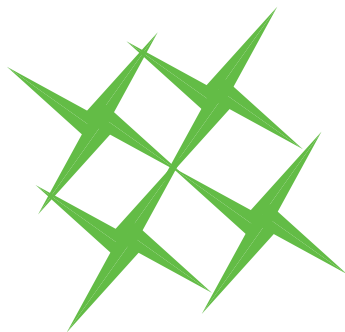


Abbildung 2: Logo der Firma „GreenArrays, Inc.“

In dem Thread: „Ist es Zeit für einen weiteren Forth–Chip?“ auf [de.comp.lang.forth](https://www.de.comp.lang.forth) hat sich am 24.5.2022 auch GREG BAILEY geäußert.

„Heute Morgen erhielt ich eine E–Mail von Wayne [Morellini] und dachte mir: Schau mal nach,

woher er kommt. Das hat mich zu dieser Newsgroup geführt. Nachdem ich den Thread gelesen hab, bemühe ich mich um eine passende Antwort. Ich schreibe genau \*einen\* Beitrag, der die hoffentlich wichtigen Punkte anspricht. Ich werde nicht an weiteren Diskussionen hier teilnehmen. Wendet euch an [greg@greenarraychips.com](mailto:greg@greenarraychips.com), wenn ihr Fragen habt. Ich versuche, mich an die Fakten zu halten und Meinungen zu vermeiden:

*Erstens* konnten wir uns noch nicht Vollzeit um die Finanzierung von POLYSANCE kümmern. Die 501(c)(3) [steuerlich begünstigte] gemeinnützige Organisation wurde von uns in Wyoming [Standort von Green Arrays] gegründet. Sie soll laut Satzung jungen Menschen das Programmieren und Entwerfen von Halbleitern in unserem Stil beibringen. Mit jung meinen wir hauptsächlich aufgeweckte Jugendliche, die noch nicht aus der High School heraus sind. (1) Die verstehen bereits, was nötig ist. (2) Denen ist noch nicht eingeredet worden, dass FORTH Mist ist und dass asynchrone Computer unpraktikabel sind. Die Kids werden eine Form von GLOW, dem Nachfolger von OKAD, verwenden. Der [HW–] Prozess wird auf die verfügbare Finanzierung abgestimmt. Sollte jemand von euch jemanden mit einem Haufen Geld kennen, der an eine ehrliche, unpolitische, steuerlich absetzbare Wohltätigkeitsorganisation spenden möchte, macht ihn bitte mit mir bekannt!

*Zweitens* hat OKAD Chips in 180– und 130–nm–CMOS produziert, letzteres mit 5V–I/O. GLOW hat 180–nm–CMOS– und 28–nm–Designs produziert, die alle Designregelprüfungen bestanden haben und erfolgreich simuliert wurden. Der Zeitaufwand, um unsere Low–Level–Designmethoden an neue Geometrien anzupassen, war minimal. Der Aufwand liegt hauptsächlich in den immer bizarren High–Level–Design–Rules. Die können wegen der Geheimhaltungsvereinbarung mit der Foundry hier nicht diskutiert werden.

*Drittens* sind moderne Prozesse sagenhaft teuer. Jedenfalls bis FinFETs kommen. Auch Leckstrom nimmt erheblich zu. Die meisten von uns können sich die \$80k (Preise von anno 2010) für 180–nm–Masken nicht leisten, geschweige denn die \$6M6 für 28 nm. Als ich Global Foundries nach den Design Rules für 14–nm–FinFETs fragte, sagten sie mir, sie würden mir erlauben, die zu sehen, wenn ich ihnen 25 Millionen Dollar für einen Shuttle Run [Produktionslauf] bezahle. POLYSANCE wird unter anderem nach einem guten komplementären Prozess suchen, der mit geeignetem Tintenstrahldrucker darstellbar ist. [Gemeint sind eventuell organische Halbleiter, die dann aber wohl erst einmal nur die Komplexität digitaler SSI–ICs<sup>5</sup> erreichen].

<sup>4</sup> Steuerbegünstigtes Unternehmen.

<sup>5</sup> SSI small scale integration; unter 12 Gatter Äquivalente.



Für pädagogische Zwecke ein gutes Werkzeug. GD-SII [Calma Format<sup>6</sup> der 70er Jahre, Standard für IC-Layouts], das man über Nacht testen kann, ist besser als sechs Monate warten. Wenn jemand einen Forscher kennt, der ein solches Verfahren im Rahmen seines Studiums aufgezogen hat: seid so nett und bringt diese Person mit mir in Kontakt; persönliches Gespräch ist besser als kalte E-Mails.

*Viertens*, ein wichtiger Grund, warum die SWATCH-Gruppe [d. h. EM Microelectronic in der Schweiz, die Multi-Project-Wafer anbieten] eine eigene 180-nm-Fertigung besitzt, ist derselbe Grund, warum auch wir diesen Prozess mögen: Solide Leistung, geringer Leckstrom, niedrige Kosten. Wir haben uns mit einer Designgruppe von SWATCH in Colorado Springs getroffen, die Chips für Logitech und andere Kunden entworfen hat, die ebenfalls Wert auf geringe Leckage legen.

*Fünftens*, ja, es ist so: OKAD und vor allem GLOW sind unsere Kronjuwelen. Wir haben diese Tools von Grund auf geschrieben und müssen daher im Gegensatz zu den meisten anderen nicht in der Größenordnung von \$100k pro Jahr und Platz zahlen. Für unsere asynchronen Designs ist auch analoge Simulation erforderlich. Wir haben \$12k für eine kommerzielle TSpice-Lizenz gezahlt. Die dann vier Monate benötigte, um das Verhalten einer Handvoll Transistoren zu simulieren, um die UI-Kurven zu erhalten. Ehedem habe ich gesehen, wie Intellasisys \$100k pro Jahr für die 1-Platz-Lizenz des analogen ANASIFT-Simulators bezahlt hat. Weiß nicht, wie gut der funktioniert, konnte es mir nicht leisten, es herauszufinden. Unser Simulator läuft schnell genug, um mehrere [GA144-] Nodes beim Ausführen von Programmen zu simulieren, während wir dabei zuschauen. Da liegen Welten zwischen! Wir haben also, was ein Startup braucht, um Chips herzustellen. Und zwar, ohne mehr als die Kosten für das Silizium zu bezahlen, um Designsoftware zu mieten. Wir haben alles, was es braucht, um Leuten das Know-how für den Beruf beizubringen. Ohne, dass jemand wie Mentor Graphics uns kostenlose Lizenzen geben muss, damit wir Leuten beibringen, wie sie deren Tools zu bedienen haben.

*Sechstens* können unsere [GA144-] Chips sehr wohl SDRAM ansteuern. John Ribbles Code dafür ist vorhanden und zwar im ROM in den Node 7, 8, 9, 107, 108. Der Quellcode für diese ROMs ist in der kostenlosen Distribution von arrayForth-3 ab Block 2241 enthalten. Man muss da nur reinschauen.

*Siebtens* verwenden wir routinemäßig externe Taktgeber (Quarze) aus genau den zuvor in diesem Thread genannten Gründen, wenn die Anwendung

eine genau spezifiziertes Timing erfordert. Siehe zum Beispiel AN002 und AN012 [Application Notes GA144].

*Achtens*, jemand [im clf-Thread] sagte, er habe uns nach Timing-Details zu den Speicherschnittstellen-Nodes gefragt im Zusammenhang mit dem Wunsch, DRAMs anzusteuern. Und ihm sei geraten worden, einfach zu probieren. Ich war die ganze Zeit hier, schon als wir GreenArrays, Inc. hießen, und kann mich nicht an eine solche Anfrage erinnern. Ich weiß nicht, wer diese Antwort gegeben hat; derjenige muss zu diesem Zeitpunkt zumindest abgelenkt gewesen sein. Ich entschuldige mich also, sollte GreenArrays diesen unpassenden Ratschlag gegeben haben. Wer heute per E-Mail bei [hotline@greenarraychips.com](mailto:hotline@greenarraychips.com) nachfragt, erhält bessere Antworten. Denn es gibt beim EVB001 [Evaluation Board GA144] Testpunkte auf vier zeitkritischen Leitungen der Speicherschnittstelle, die solche Untersuchungen vereinfachen.

*Abschließend* lädt GreenArrays euch zum konstruktiven Dialog direkt per E-Mail ein. Wir haben früh festgestellt, dass wir nicht so lange leben, um Zeit für Chat-Gruppen zu haben. Ich habe `comp.lang.forth` lange genug gelesen, um das einzusehen. Alles Gute euch allen! Und Grüße an Anton [Ertl] und andere hier, die ich seit vielen Jahren kenne.

Greg Bailey, Präsident, Greenarrays, Inc. <https://www.greenarraychips.com/>

In eckigen Klammern stehen Anmerkungen zum besseren Verständnis dessen, worauf Greg sich jeweils bezieht.

Und die folgende Liste gibt einen Überblick über die historischen Prozessoren von Chuck Moore und wann GreenArrays dazu gekommen ist.

### Chuck Moores Chips

#### Novix NC4016

1983      Fab: Mostek, 4000 ( geschätzt ) Gates, 3 µm CMOS — Moore „several hundreds boards sold“ [1].

#### Harris RTX2000 d. h. redesign Novix

1988      Fab: Harris, Standardzelle, 2 µm CMOS, vermutlich >1k produziert.

#### Shboom und das Resdesign PSC1000 JAVA-Prozessor

1988      Fab: Oki, 8000 Gates, 1,2 µm CMOS Samples.

<sup>6</sup> GDSII (ursprüngl. Graphical Design Station II oder Graphic Data System II) bezeichnet das De-facto-Standard-Datenformat für Layoutdaten von integrierten Schaltkreisen im EDA-Bereich. (Electronic Design Automation (EDA) bezeichnet Software für den Entwurf von Elektronik, insbesondere Mikroelektronik. Es ist ein Teilgebiet des Computer-Aided Design (CAD))



- 1999 Patriot Scientific, Beginn der PSC1000 Produktion.
- 2002 Patriot sucht Investoren für PSC1000, ca. Ende Fertigung
- 2005 AMD erwirbt Lizenz, Patriot & Moore sammeln insgesamt von mehreren Halbleiterherstellern \$125M Lizenzgebühren für ShBoom-Patente ein.

## Generation „21“

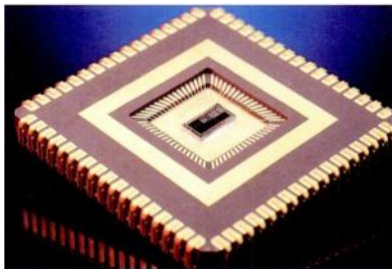


Abbildung 3: Der i21-Prototyp

- 1990 MuP21 Fab: Orbit, Fab: Hewlett Packard / Mosis — 12... 25 Muster-Chips für \$3k... \$6k bei 2 Monaten Durchlaufzeit. [1] [MOSIS war der Musterservice von DARPA/Pentagon. Anfangs verteilte er Fertigung auf 11 Fabs, aber ab 1989 eigentlich nur noch auf Hewlett-Packard, Orbit, IMP und VLSI Technology.]
- 1993 MuP21, Offete ( = Dr. Ting ), 1,2 µm CMOS Produktion zu \$25/1 DIL40 [2] — Moore: „Some 20k were manufactured“.
- 1996 iTVc i21 Muster „400 MIPS processor“ — Mit Unterstützung NASA / Ames Research Center und \$0,9M gegründet. Pro forma für Anwendung von NASA.
- 1997 iTv Corporation erhält mehrere Mio\$ Venture Capital. Ziel ist nun ein ultra low cost Internet Access Terminal. D. h. BTX auf amerikanisch. Fabs wären Korea/Japan gewesen [3]. — Neben den technischen Problemen hat das Platzen der Dotcom-Blase 2000 das Projekt beendet.
- 1998 F21, UltraTechnology ( = Jeff Fox ), Fab: HP / Mosis 0,8 µm Muster.

## GreenArrays

- 2009 Gründung des Unternehmens



Abbildung 4: G144A12 Chip

- [1] Bergin, „History of Programming Languages“, Addison Wesley, 1996
- [2] [www.ultratechnology.com/cowboys.html](http://www.ultratechnology.com/cowboys.html)
- [3] „Spinoff 1998“, NASA-Broschüre.

Rafael Deliano

## IC-Designs

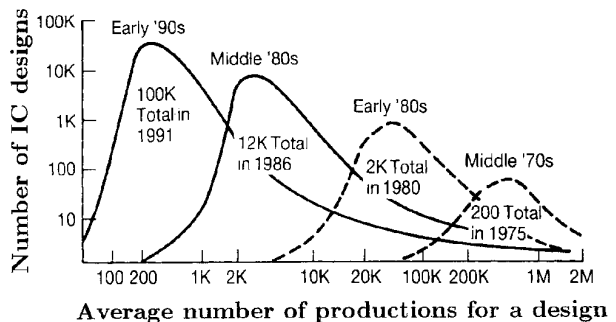


Abbildung 5:

Wenn, wie in Abb. 5 dargestellt, historisch die Zahl der Designs steigt und die typischen Stückzahlen sinken, warum ist es dann so schwer, ein IC<sup>7</sup> zu entwickeln? Die Chips mit den kleinen Stückzahlen sind ASICs<sup>8</sup>, auf bestimmte Anwendung und einen Kunden zugeschnitten. Den Mikroprozessor als Standardbauteil am freien Markt im Stil der 70er Jahre gibt es fast nicht mehr. Das Marktvolumen ist zwar größer geworden, aber die Fertigung von ICs wurde nicht billiger. Kleine Stückzahlen waren bei dem ehemals höheren Preisniveau gangbarer. Indikator für die wirtschaftlichen Gegebenheiten ist, dass sich die Zahl der IC-Hersteller durch Fusionen kontinuierlich vermindert hat.

Anmerkung zu Abb. 5: J. H. Lau zählte wohl auch Masken-ROMs in Controllern als Design.

Quelle: Ball Grid Array Technology (Electronic Packaging and Interconnection Series), 1995, englische Ausgabe von John H. Lau (Herausgeber). Rafael Deliano

<sup>7</sup> integrated circuit

<sup>8</sup> ASIC: application-specific integrated circuit.



### CH56x, Mecrisp Quintus und ein Board dazu

„Hi, I thought this would be interesting for you, maybe you could include it in the newsletter: I created a working port of Mecrisp Quintus for the WCH-Tech CH56x series of USB3 microcontrollers:

<https://github.com/hansfbaier/mecrisp-quintus>

I also designed an open-hardware board with that chip:

<https://github.com/hansfbaier/ch569-usb3-board>

It can be cheaply manufactured on demand by JLCPCB, complete production files are included.

Best regards, Hans Baier“

Und ob! Das sind sehr interessante RISC-V MCUs, welche da von der Design-Company *WCH Nanjing Qinheng Microelectronics* in China gefertigt werden, „full stack“. [www.wch-ic.com](http://www.wch-ic.com).<sup>9</sup>

#### Anmerkung

Neugierig geworden, wollte ich wissen, was diese Firma so alles macht. Sie entwerfen MCUs, MCU-Networking, USB Connections und Charging Protocols.

„Das Unternehmen betreibt ein Full-Stack-Entwicklungsmodell, das auf selbst entwickelten Transceiver-PHYs und Prozessor-IP basiert, anstatt herkömmliche IP-Integrationsmodelle zu nehmen.“

In der Korrespondenz mit BERND PAYSAN war zu erfahren, dass ihm als Chip-Designer das alles „völlig klar wie Klossbrühe“ war, was sie damit meinten. Mir aber nicht. So habe ich nun gelernt, dass PHY die physikalische Schicht der Transceiver ist, und IP die „Intellectual Property“ fertiger MCU-Blöcke, die man in Lizenz für sein Design dazukaufen kann. Und das mit „Full Stack“ die Leute, die Hardware designen, sich damit auf ihren kompletten Schaltungsentwurf beziehen. Sie meinen, dass sie alle Schaltpläne und Designs selber machen, also sowohl analog als auch digital, und keine Komponenten hinzukaufen, außer denen, die Teil des Design-Kits sind, den der Chip-Fertiger zur Verfügung stellt. Und das sind ganz basale Dinge, einfache analoge Komponenten wie Widerstände, Transistoren oder Kapazitäten und einfache digitale Komponenten, wie Gatter oder SRAM-Zellen bzw. Arrays. Irgendwie forthig, oder?

Ansässig ist die Firma übrigens in No. 18, Ningshuang Road, Nanjing, China — laut GoogleMaps im: 新中心4幢, „Innovationszentrum, Gebäude 4“.

mka

<sup>9</sup> Das Mecrisp Quintus und weitere Forthe von MATTIAS KOCH findest du dort:

<https://sourceforge.net/projects/mecrisp/files/>

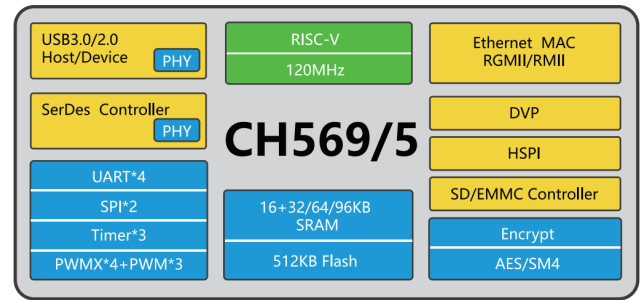


Abbildung 6: CH56x series of USB3 microcontrollers

### floor — integer oder integral ?

Beschäftigt man sich mit Zahlenkonversionen, stolpert man früher oder später auch über `fmod` und will dann wissen, was es tut. Gforth `locate fmod` liefert Folgendes:

```
: fmod ( r1 r2 -- r ) \ modulus of r1/r2
   fover fover f/ floor f* f- ;
```

Gut, da passiert einiges auf dem *floating point stack*, dem ich folgen kann, aber was macht das `floor` dort? Ein Blick in den Quellcode zeigt:

```
floor ( r1 -- r2 ) float
  "Round towards the next smaller integral value,
   i.e., round toward negative infinity."
  CLOBBER_TOS_WORKAROUND_START;
  r2 = floor(r1);
  CLOBBER_TOS_WORKAROUND_END;
```

Aha, ein Primitive des Forth, Maschinencode, in C.

```
123.456e0 floor cr f. <enter>
123.
```

Man sieht sogleich, was es macht: runden auf die nächst kleinere ganze Zahl.

Doch was meint „integral“ da im Kommentar? ANTON ERTL wies mich auf die Bedeutung hin, die das *wiktionary* nennt. Danach wurde die heutige englische Bedeutung ausgeliehen aus dem französischen *integral*, die es wiederum vom lateinischen *integer* im Sinne von „vollständig“ übernommen hatte. Die beiden Begriffe liegen, was den sprachlichen Wortsinn angeht, gleichauf. Aber in deiner Rechenmaschine in Gforth liegen Welten dazwischen!

So bezeichnet der Begriff „integer“ in der Computerei die ganzen Zahlen vom „single-cell type“ und „integral“ meint eine ganze Zahl, hinterlegt im Gleitkommaformat. Und die Handhabung dieser Zahlentypen erfolgt in Gforth auf verschiedenen Stacks! Die *Integer-Zahlen* werden auf dem Daten-Stack jongliert, die *integralen Zahlen* hingegen auf dem Floatingpoint-Stack. Man muss also wissen, auf welchem Stack man operiert. Daher finde ich es sehr sinnvoll,

das auch sprachlich auseinanderzuhalten, so, wie es in der Gforth-Quelle auch erfolgt ist.<sup>10</sup>

Der Screenshot (Abb. 7) zeigt meine Fingerübung dazu. Man sieht da schön, dass Gforth so nett ist, hinter dem `ok` auch anzugeben, was auf welchem Stack liegt. Die 1 hinter dem `ok` bedeutet: „Ein Item ist auf dem Datenstack“. Und die 1 hinter dem `f:` bedeutet: „Ein Item ist auf dem Floatingpoint-Stack“ — hübsch, oder?

Was ergibt dann die folgende Eingabe?

```
123.345e0 10 fmod
```

Ja, genau, eine Fehlermeldung!

```
*the terminal*:9:14: error:
Floating-point stack underflow
123.345e0 10 >>>fmod<<<
```

Denn `fmod` braucht den Teiler 10 bei sich auf dem *floating point stack*. Einfach so eingegeben, packte die Ziffernkongression die 10 aber auf den Datenstack, so geht's also nicht. Es braucht `10 s>f`, um die 10 rüber auf den anderen Stack zu schieben, oder eben gleich die Eingabe `10.00e0` an jener Stelle. mk

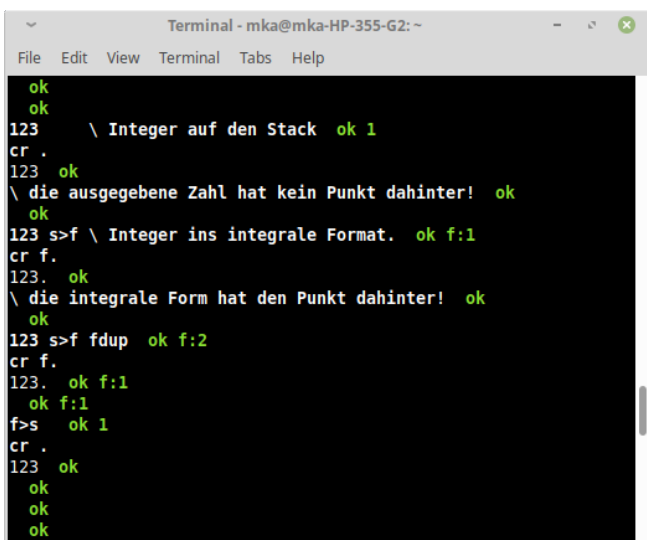


Abbildung 7: Integer vs. integrale Zahl

## Aktualisiertes VolksForth für den Commander X16

Der *Commander X16* — jener neue, Commodore-inspirierte 65C02-Computer (siehe VD 3/2021 S. 32 ff.) — hat im Frühjahr 2022 ein neues Prototyp-Board bekommen, das mit dem ersten Prototypen inkompatibel ist, und parallel dazu drei neue Versionen des Betriebssystems — „Kernal“ in Commodore-Sprech. Eigentlich hätte

das bisherige X16-VolksForth, Version 3.9.3, mit dem alten wie dem neuen Board funktionieren sollen, und mit einer Pre-Release-Version des ersten „neuen“ Kernals, R39, tat es das im passenden Emulator auch.

Aber dann kamen die Kernal-Versionen R40 und R41 daher und zeigten: Adressen von Kernal-Variablen im RAM, die beim C64 und beim C16 noch völlig unveränderliche und verlässliche Größen waren — und von VolksForth genutzt wurden und werden — gehören eben doch nicht unbedingt zur API-Definition und können sich bei einem System wie dem X16, das sich noch in Entwicklung befindet, von Version zu Version verschieben.

Im Laufe des Juli und August habe ich VolksForth zunächst an den aktuellen R41-Kernal angepasst und anschließend die Verwendung von Kernal-Variablen soweit wie möglich durch API-Aufrufe ersetzt. Ein einziger Zugriff auf eine Variable ist noch geblieben, und die hat mit einem OS-Bug zu tun, von dem ich glaube, dass er schon seit mindestens 40 Jahren in diversen Commodore-Computern existiert. Für CBM-Geeks: Zu Beginn der Kernal-Routinen LISTEN und TALK, mit denen man den IEC-Bus direkt nutzen kann (VolksForth tut das), wird das I/O-Status-Byte (\$90 beim C64) nicht gelöscht, so dass man das vorher tun muss. Und dafür gibt es keinen Kernal-API. Mal sehen, ob ich dafür im X16-Kernal einen Fix bekommen kann. Die Diskussion ist angestoßen.

Inzwischen ist die aktualisierte VolksForth-Version 3.9.4 auf der X16-Website veröffentlicht und ins Haupt-GitHub-Repo integriert. Das Gleiche gilt für Version 0.11 meines Small-C-Compilers cc64, der ja auf VolksForth aufsetzt. Philip Zembrod

### Links:

<https://www.commanderx16.com/forum/index.php?topic/4467-volksforth-and-cc64-updated-to-prototype-2-and-r41-kernal/>  
<https://www.commanderx16.com/forum/index.php?files/file/84-volksforth-x16/>  
<https://www.commanderx16.com/forum/index.php?files/file/121-cc64-x16/>  
<https://github.com/commanderx16/x16-rom/issues/333>  
<https://github.com/forth-ev/VolksForth/tree/master/6502/C64>  
<https://github.com/pzembrod/cc64>

Weitere Meldung auf S. 34

<sup>10</sup> Anton hat auch in den man-Pages von C-Funktionen nachgeschaut, die sowas machen, und fand zu `floor`: These functions return the largest *integral* value that is not greater than x. Und bei `rint`: The `nearbyint()`, `nearbyintf()` and `nearbyintl()` functions round their argument to an *integer* value in floating-point format, using the current rounding direction. Hm, da wurde mal so und mal so gesagt. Gforth folgt lieber dem Forth-Standard, und der macht diese Unterscheidung auch sauber.

## RISC-V

## Assembler, Disassembler und Simulator

Klaus Kohl-Schöpe

*Letztes Jahr hat mich die Feuerstein-Gruppe — speziell WOLFGANG STRAUSS — durch die Zusendung des Longan Nano Boards dazu „gezwungen“, mich mit diesem RISC-V Prozessor und dem Mecrisp Forth darauf zu befassen. Da ich auch als Mikrocontroller-Spezialist immer mehr mit RISC-V, z. B. in FPGAs, zu tun habe, nutzte ich diesen Anreiz und habe in den folgenden Wochen meine schon angefangene Opcode-Liste fertiggestellt, Assembler und Disassembler realisiert und um einen Simulator ergänzt. Dieser erlaubt mir sogar, das Mecrisp für RISC-V auf einem PC laufen zu lassen.*

## Der RISC-V Assembler

Wenn man sich mit Forth auf einem neuen Prozessor befasst, sollte man die Hardware, aber auch den Opcode des Prozessors, kennen, da dies die Grundlage für einen Assembler ist. Deshalb erstelle ich mir immer eine Liste der Befehle mit zugehöriger Adressierungsart und dem Opcode. Beim RISC-V sind es zwar nur wenige Befehlstypen, aber leider werden die Bits für Immediate bzw. Offset ziemlich gewürfelt, um angeblich optimiert für FPGAs zu sein (Tab. 1).

RISC-V ist Low-Endian und holt sich deshalb das niederwertigste Byte zuerst und kann anhand der ersten 2 bzw. 7 Bits erkennen, ob es sich um ein 16-, 32-, 64- oder 128-Bit-Befehl (geplant bis 864 Bit) handelt.

Mein Assembler in Forth soll z. B. folgendes Programm kompilieren können und dabei auch darauf achten, dass gültige Register und Parameter verwendet werden:

```
Code test
  x3 , x4 , x5 add, \ x3 <= x4 + x5
  x3 , x6 , 1$ beqz, \ Jump wenn x3 == x6
  x3 ,( #4 x4 lb, \ x3 <= Byte aus(x4+4)
1$: \ Label
  x1 c.jr, \ Return
End-Code
```

Das bedeutet, die Register (32 mal 32 Bit), Adressierungsarten (angelehnt an Standard-Assembler) und Offsets müssen geprüft werden. Forth-like kommen zuerst die Parameter, bevor der Befehl mit Komma folgt, da er ja den Befehl speichert. Wie man hier sieht, gibt es das Komma auch für die Trennung der Parameter, angelehnt an den Standard-Assembler mit einigen Modifikationen wie , ( für Register mit Offset. Es können auch innerhalb eines Befehls bis zu 16 Labels 1\$: bis 16\$: definiert und z. B. für Sprünge als 1\$ bis 16\$ verwendet werden.

Ich verwende in einem Assembler meist Create-Does-Konstruktionen zur Befehlsdefinition. Dies schaut bei Befehlen ohne Parameter wie folgt aus:

```
: NoPars: ( opc -- ; -- ) \ no parameter
  Createp ,p
  Doesp> >r ?nopar? r> @p ,p reset ;

$0000100f NoPars: fence.i,
```

```
$0ff0000f NoPars: fence,
```

...

Diese merken sich den 32-Bit-Opcode, prüfen bei Verwendung des Befehls, dass keine Parameter da sind und kompilieren dann den Opcode ins Programm.

Ähnlich, wenn auch mit deutlich mehr Tests, geht es dann bei den anderen Befehlen weiter:

```
: R-Type: ( opcode -- ; -- ) \ rd , rs1 , rs2
  Createp ,p
  Doesp> >r $f00c0300 $10040100 ?reg?
  r> @p r3@ +rd r2@ +rs1
  r1@ +rs2 ,p reset ;
```

```
$00000033 R-Type: add,
$40000033 R-Type: sub,
```

...

Um schnell auf alle Parameter prüfen zu können, schieben die trennenden Wörter wie , bzw. , ( und Opcode, Informationen, wie Adressierungsart, Registernummern bzw. Offset in Variablen, die mit einer einfachen AND- und Gleich-Maske mittels ?reg? getestet werden können. Ist alles richtig, wird der gespeicherte Opcode um Registernummern oder Offset ergänzt, wobei man auf die Bitreihenfolge und die bei RISC-V meist vorzeichenbehafteten Werte achten muss. Wer sich den Source-Code ansieht, wird bemerken, dass genau dies einen Großteil ausmacht und auch gründlich getestet werden musste.

## Der RISC-V Disassembler

Bei einem Disassembler (siehe Auszug aus RISC-V Disassembler) geht man den umgekehrten Weg und holt sich den nächsten (32-Bit) Opcode aus dem Speicher und kann mit Hilfe der niederwertigsten 2 Bits erkennen, ob ein 16-Bit-Befehl genutzt wird. Beim RISC-V habe ich eine Tabelle für 16-Bit und zwei für 32-Bit verwendet, bei denen auf eine Maske verglichen wird ( AND dann = ). Wurde der Befehl in den Listen gefunden, wird der Opcode-String und dann die Parameter durch Aufruf des Befehls, wie hier rd,imm31\_12\_u , oder NOP , wenn ohne Parameter, ausgegeben. Wie schon erwähnt, muss man vor allem auf diese gewürfelten Bits in den Immediate-Werten oder Offsets achten. Ein Sonderfall ist hier \$FFFF



Mnemonics		Opcode																															Operation				
		31	30	29	28	27	26	25	24	23	22	21	20	19	18	17	16	15	14	13	12	11	10	9	8	7	6	5	4	3	2	1	0	imm is signed, uimm is unsigned			
R-Type	<rd>,<rs1>,<rs2>	funct7							rs2				rs1				funct3				rd				op							op = xxxbbb11 with bbb<>111					
ADD	<rd>,<rs1>,<rs2>	0	0	0	0	0	0	0	rs2				rs1				0	0	0	rd				0	1	1	0	0	1	1	rd = rs1 + rs2						
SUB	<rd>,<rs1>,<rs2>	0	1	0	0	0	0	0	rs2				rs1				0	0	0	rd				0	1	1	0	0	1	1	rd = rs1 - rs2						
I-Type	<rd>,<rs1>,imm	imm[11:0]							rs2				rs1				funct3				rd				op							op = xxxbbb11 with bbb<>111					
S-Type	<rs2>,imm<rs1>	imm[11:5]							rs2				rs1				funct3				imm[4:0]				op							op = xxxbbb11 with bbb<>111					
SB-Type	<rs1>,<rs2>,imm	imm[12,10:5]							rs2				rs1				funct3				imm[4:1,1]				op							op = xxxbbb11 with bbb<>111					
BEQ	<rs1>,<rs2>,imm	imm[12,10:5]							rs2				rs1				0	0	0	imm[4:1,1]				1	1	0	0	0	1	1	PC = PC+imm<<1 if rs1=rs2						
U-Type	<rd>,<rs1>,<rs2>	uimm[31:12]														rd				op							op = xxxbbb11 with bbb<>111										
UJ-Type	<rd>,imm	imm[20:imm[10-1]:imm[11]:imm[19-12]														rd				op							op = xxxbbb11 with bbb<>111										
FENCE.I		0			0				0					0				0	0	0					0	0	0	1	1	1	1	Sync write before instruction read					
FENCE		0				PI	PO	PR	PW	SI	SO	SRSW				0		0	0	0					0	0	0	1	1	1	1	Sync write before instruction read					
CR-Type	<rd>,<rs2>	---														func4				rd/rs				rs2							op						
CI-Type	<rd>,imm	---														func3				i	rd				imm							op					
C.LI	<rd>,imm	---														0	1	0	i5	rd<>0				i4:0							0	1	Load immediate				
CS-Type	<rd>,imm	---														func3				uimm				rd'				uimm				rs2'	op				
CSS-Type	<rd>,<rs2>	---														func3				uimm								rs2'				op					
CIW-Type	<rs2'>,imm	---														func3				uimm								rs2'				op					
C.ADDI4SPN	<rs2'>,sp,uimm	---														0	0	0	i5:4 9:6 2 3				rs2'				0	0	Add uimm (*4) to SP (uimm <> 0)								
CL-Type	<rs2'>,imm	---														func3				uimm				rs'				uimm				rs2'	op				
CB-Type	<rd>,imm	---														func3				offset				rd'/rs'				offset				op					
C.BEQZ	<rs>,<addr>	---														1	1	0	o8 4:3				rs'				o7:6 2:1 5				0	1	Branch if rs' is 0 (offset*2)				
CJ-Type	offset	---														func3				jump offset				op													

Tabelle 1: Auszug aus RISC-V (RV32IMC) Opcodes

Tabelle 1: Auszug aus RISC-V (RV32IMC) Opcodes

(für ein leeres Flash), das einfach als 16-Bit-Wert ausgegeben wird. Da der Opcode öfters gebraucht wird, hole ich ihn mit `opcode@` aus dem Speicher und lege diesen in der Variable `opcode` ab. Createp mit End-Create und Trennung in mehreren Listen ist wegen der Verwendung von *mcForth* notwendig, da in dieser Version nur maximal 512-Byte-Blöcke pro Befehl beim Flash erlaubt sind.

## Der RISC-V Simulator

Zum besseren Test des geplanten *mcForth* für RISC-V habe ich auch noch den Simulator realisiert. Wer den Source-Code von Simulator (siehe Auszug aus RISC-V Simulator) und Disassembler ansieht, wird viele Ähnlichkeiten erkennen, da ein Simulator auch die einzelnen Registernummern und Parameter nutzen muss, um die Daten für die Verarbeitung aus Registern oder Speicher zu holen bzw. wieder zurückzuschreiben. Da aber normalerweise nichts ausgegeben wird (das macht der Disassembler), ist die verwendete Tabelle kompakter und nutzt auch Maske und Vergleichswert zur Erkennung des Befehls, der dann direkt aufgerufen wird. Dieser holt sich dann die entsprechenden Parameter, führt die Operation aus und schreibt die Daten wieder zurück. Der Auszug zeigt dies am Beispiel des Load-Byte bzw. Load-Halbwort (16 Bit). Für den Speicherzugriff gibt es die Wörter `c@s`, `cs@s`, `hs@s` ... `@s` bzw. `c!s`, `h!s` und `!s` jeweils für Byte, Halbwort und Wort, evtl. mit Sign-Extension. Diese Wörter müssen dann modifiziert werden, wenn das Programm andere Speicherbereiche nutzt oder falls man die Hardware für einen RISC-V Prozessor wie dem GD32F103CB vom Longan Nano simulieren will. Der Simulator für Mecrisp auf dem Longan Nano benötigte z. B. nur USART0-Status- und Datenregister.

```
$40013800 = Status
  (Bit 5 (RXNE): RX?;
   Bit 7 (TBE): TX?)
$40013804 = Data
```

Das Gute an einem Simulator ist, dass man alle Aktionen und Parameter ausgeben kann, und so kann man

ansehen, wie und auf welche Adressen Mecrisp zugreift. Dabei ist mir aufgefallen, dass, obwohl im Users-Manual explizit nur 32-Bit-Zugriffe auf den USART erlaubt sind, Mecrisp einen *Byte*zugriff nutzt. Es war aber kein Problem, einfach alle Byte-, 16-Bit- und 32-Bit-Zugriffe um die Abfrage für diese Register zu ergänzen und eine Erweiterung für den Simulator zu realisieren, damit Tastatureingaben auf diese Register abgelegt, verfügbare Zeichen ausgegeben und dabei die `RX?` bzw. `TX?` Flags genutzt werden.

Für einen kompletten Target-Simulator des Chips GD32VF103CB fehlen noch ein paar Zutaten, wie externer Simulator-Speicher für 128 KByte Flash (ab \$0000.0000) und 32 KByte RAM (ab \$2000.0000). Zusätzlich noch Befehle zum Laden, Disassemblieren und Debuggen von Programmen. Hier die Befehlsliste, die ich im *RV32IMC\_TSIM* nutzen kann:

**siminit** ( -- ) Reset RISC-V register

**read** ( file ; -- ) Read file

**dis** ( addr -- addr2 ) Disasm 1 line

**ndis** ( addr n -- addr2 ) Disasm n lines

**d** ( -- ) Show next command

**s** ( -- ) One step

**steps** ( n -- ) n steps

**debug** ( -- ) Single step debug

- CR : Jump over (execute call)

- C : Input one character

- ESC: Stop debugger

**run** ( -- ) Run till ESC or error

**r\_pc** ( pc -- ) Run till breakpoint

**d\_run** ( -- ) Trace

**d\_pc** ( pc -- ) Trace till breakpoint

**x** ( -- ) Exit simulator





Damit brauche ich nur noch den Simulator mit `sim` zu starten, das Binary des Mecrisp mit `read mq.bin` zu laden und mit `run` zu starten. Zusätzlich gibt es noch die Variable `info`, die ich im Simulator nutze, um zusätzliche Informationen auszugeben. Dessen Bedeutung sollte man besser im Sourcecode anschauen. Mit der `ESC`-Taste kann ich dann den Simulator stoppen und mit Befehl `x` verlassen, wobei der reservierte Speicher wieder freigegeben wird.

Ich hoffe, dieser Artikel ist ein Anreiz, sich auch mal mit einem Simulator, Assembler bzw. Disassembler in Forth zu befassen. Die hier angegebenen Listings und Programme sind über [mcforth.net](http://mcforth.net) und GitHub verfügbar.

Und nun viel Spaß damit. Probiert es aus und teilt mir gerne mit, wie euer Eindruck ist.

## Anhang: FPGA Boards

Ich verwende hierzu meist ein Intel Max 10 FPGA bzw. deren Cyclone 10 LP FPGA-Reihe auf den Boards MAX1000 und CYC1000. Das sind günstige MKR-Format Boards, entwickelt von Arrow und Trenz. Und das

Terasic DE10 Lite Kit mit einem 50 kLE MAX 10 darauf. Außerdem gibt es die RISC-V Hard-IP für Microchip's Polarfire (ICICLE-Kit). Neben Microchip haben auch Lattice und Intel (NIOS-V) ihre RISC-V IP. (Als Jäger und Sammler habe ich natürlich alle Kits hier im Büro. :)

Beim FORTH2020 ZOOM-Meeting #26 am 13. August 2022 habe ich davon berichtet. Ihr könnt euch das gerne bei YouTube ansehen, der Link ist angefügt. Oder holt euch das PDF der Präsentation.

## Links

<http://mcforth.net> (siehe mcForth Beispiele)

<https://github.com/KlaKoSch> (siehe RISC-V)

<https://www.youtube.com/watch?v=3GM7S30VR50> (ab 1:10h)

[https://github.com/forth2020/zoom-presentations/raw/main/assets/2022-08-13/20220813\\_FPGA\\_Forth.pdf](https://github.com/forth2020/zoom-presentations/raw/main/assets/2022-08-13/20220813_FPGA_Forth.pdf) (Präsentation)

## Listings

### Auszug aus RISC-V-Disassembler (RV32IMC)

```

1  Createp rv32i1_table
2  \ mask      opcode      mnemonics (12char) operands
3  $0000707f ,p $00000003 ,p s" lb      " $,p ' rd,imm11_0_i(rs1) ,p
4  $0000707f ,p $00001003 ,p s" lh      " $,p ' rd,imm11_0_i(rs1) ,p
5  ...
6  $00000000 ,p
7  End-Create
8
9  Createp rv32i2_table
10 $0000007f ,p $00000037 ,p s" lui      " $,p ' rd,imm31_12_u      ,p
11 $0000707f ,p $00000063 ,p s" beq      " $,p ' rs1,rs2,imm12_1_sb ,p
12 ...
13 $00000000 ,p
14 End-Create
15
16 Createp rv32c_table
17 \ mask      opcode      mnemonics      operands
18 \ bit 16=1 if rd<>0; bit 17=1 if rs2<>0
19 $0000ffff ,p $00000000 ,p s" unimp    " $,p ' nop                    ,p
20 $0000e003 ,p $00000000 ,p s" c.addi4spn" $,p ' rs2',sp,uimm9_2_ciw ,p
21 ...
22 $00000000 ,p
23 End-Create
24
25 ...
26 : findop    ( opcode table -- 0 | entry -1 ) \ Find opcode in table
27   BEGIN dup @p                                \ end of table ?
28   WHILE over over @p and over 4 + @p = \ compare mask opcode with table
29     IF nip -1 exit THEN                  \ found
30     #24 +                                \ next entry
31     REPEAT drop drop 0 ;                 \ not found
32   ...
33 : dis32      ( addr -- addr+4 )
34   cr addr. opcode32.
35   opcode @ rv32i1_table findop
36   IF 8 + dup countp typep space #12 + @p execute 4 + exit THEN
37   opcode @ rv32i2_table findop
38   IF 8 + dup countp typep space #12 + @p execute 4 + exit THEN
39   ." unimp " 4 + ;
40   ...
41 : dis        ( addr -- addr+x )

```

```

42 \ dup 1 and IF 1 + THEN \ !!! tests for aligned address !!!
43   base @ >r hex
44   dup ( here + ) \ !!! expect program address 0 at here !!!
45   opcode@ dup opcode !
46   dup $ffff and $ffff = \ special case $ffff
47   IF drop cr addr. opcode16. ." 0xffff " 2 +
48   ELSE 3 and 3 = IF dis32 ELSE dis16 THEN
49   THEN r> base ! ;
50
51 : ndis ( addr n -- addr+x )
52   FOR dis NEXT ;

```

### Auszug aus dem RISC-V Simulator (RV32IMC)

```

1  : imm11_0_i(rs1) ( -- addr ; imm = [31:20] => [11:0] )
2    imm11_0_i rs1@ + ;
3    ...
4
5  \ execute 32-bit opcode ( pc on stack )
6  : i.lb      imm11_0_i(rs1) cs@s rd! 4 + ;
7  : i.lh      imm11_0_i(rs1) hs@s rd! 4 + ;
8  : ...
9
10 Createp rv32i1_table
11 \ mask      opcode      command
12 $0000707f ,p $00000003 ,p ' i.lb      ,p
13 $0000707f ,p $00001003 ,p ' i.lh      ,p
14 ...
15 \ End
16 $00000000 ,p
17 End-Create
18
19 : sim32 ( addr -- addr2 0 / addr -1 )
20   opcode @ rv32i1_table findop
21   IF 8 + @p execute 0 exit THEN
22   opcode @ rv32i2_table findop
23   IF 8 + @p execute 0 exit THEN
24   -1 ;
25   ...
26
27 : sim ( addr -- addr+x f ) \ 0=ok; -1=unimpl
28 \ dup 1 and IF 1 + THEN \ !!! tests for aligned address !!!
29   base @ >r hex
30   dup ( here + ) \ !!! expect program address 0 at here !!!
31   @s dup opcode !
32   dup $ffff and $ffff = \ special case $ffff
33   IF -1
34   ELSE 3 and 3 = IF sim32 ELSE sim16 THEN
35   THEN r> base ! over regs ! ;
36
37 : nsim ( addr n -- addr+x )
38   FOR sim IF rdrop exit THEN NEXT ;

```



# ASCII-Art fürs Analoge: Das Signallabor

Matthias Koch

*Während es für kleine Versuche mit analogen Sensoren meist ausreichend ist, einfach die eingelesenen Werte im Terminal auszugeben und mal drüberzuschauen, ob es passt, stellt sich bei komplizierteren analogen Schaltungen und verrückten Signalen immer wieder die Frage: Was messe ich denn dort eigentlich, und wie kann ich es justieren? Amplitude, Offset, Clipping, Verteilung des Rauschens, auftretende Frequenzen ... All das will gründlich bedacht sein. Viel zu oft treten außerdem Störungen auf, die nur mit dem Lötkolben behoben werden können, bei denen der Mensch in der Standardausführung mit nur zwei Händen also zwischen Löten, Aufnehmen von Probedaten und Auswerten hin und her wechseln muss.*

*Um den aufwändigen Feinschliff am Analogen zu unterstützen, habe ich ein kleines Signallabor entwickelt und mir Gedanken gemacht, welche Arten der Signaldarstellung im Terminal besonders hilfreich sein könnten. Insbesondere eine Herausforderung tauchte dabei immer wieder auf: Wie lassen sich große Datenmengen eigentlich kompakt und übersichtlich darstellen, damit der Mensch freihändig an der Elektronik basteln kann?*

## Das Signallabor

Insgesamt unterstützt das Signallabor, welches übrigens fertig zum Ausprobieren in *Mecrisp-Ice 2.6c* fürs *ULX3S* enthalten ist, momentan vier verschiedene Ausgaben:

- *Oszilloskop-Ansicht*, linear oder logarithmisch, wahlweise skaliert auf Minimum und Maximum des Datensatzes (zur detaillierten Betrachtung des Signals selbst) oder mit dem gesamten vom Wandler abgedeckten Wertebereich (zur Betrachtung von Amplitude und Offsets und zur Justage des Signalfades).
- *Binning*, als Tabelle ausgegeben, um zu sehen, welcher Messwert wie oft vorkommt. Dies ist besonders nützlich, um die statistische Verteilung des Rauschens um ein zeitlich konstantes Eingangssignal näher unter die Lupe zu nehmen.
- *Fourier-Ansicht*, sinnvollerweise logarithmisch, um die im Signal vorhandenen Frequenzanteile zu betrachten.
- Und schließlich das *Live-Binning*, welches fürs freihändige Justieren prima geeignet ist. Dafür werden schnell hintereinander immer wieder Aufnahmen gemacht und kompakt in einer einzigen Zeile ausgegeben, wobei Durchschnittswert, Minimum, Maximum und die Verteilung der Messwerte über den Gesamtbereich des Wandlers hinweg übersichtlich dargestellt werden.

## Beispiele für die Vorstellung oder was uns erwartet

Während die ersten drei Möglichkeiten vermutlich bereits vertraut erscheinen, möchte ich ganz zu Beginn erst einmal die vierte, neue Variante vorstellen. Hier ein kleines Beispiel des Live-Binnings anhand einer schnellen Sinusschwingung aus einem Funktionsgenerator, deren Amplitude zunächst sinkt, bevor der Offset größer wird (Abb. 1).

Für jede Zeile wurden dabei 512 Messpunkte (250 kHz Abtastrate, 12 Bits, mögliche Werte zwischen 0 und 4095)

aufgenommen, nach Größe sortiert, und kompakt ausgegeben. So ist schon auf den ersten Blick klar, wo sich das Signal innerhalb der möglichen Grenzen des Analog-Digital-Wandlers bewegt, ob beispielsweise die Verstärkung passt, oder ob das Signal besser noch ein wenig verschoben werden sollte, um einen Anschlag an die Grenzen (das sogenannte Clipping) zu vermeiden. Zu beachten ist, dass es sich hier nicht um eine kontinuierlich durchgehende Aufnahme handelt, sondern jede Zeile eine separate Aufnahme ist. In den Rechen- und Ausgabepausen dazwischen können uns somit einmalige Ausreißer entgehen — diese Ansicht ist also kein wissenschaftlicher „Langzeitdatenrekorder“, sondern als Werkzeug dafür gedacht, einen Überblick und eine vor allem während der Justage hilfreiche schnelle Rückmeldung zu erhalten.

Abb. 4 zeigt, wie ein amplitudenmodulierter Träger (5-Hz-Sinus-Modulation, 31-kHz-Trägerwelle, 100% Modulationstiefe) in der Live-Ansicht aussieht.

Doch nun zu den „klassischen“ Ansichten! Eine 12-kHz-Sinusschwingung mit 1-Vpp-Amplitude und 800-mV-Offset, welches sich in der Live-Ansicht ( `0 adc-channel io! live` ) so präsentiert, wie in Abb. 5 gezeigt, sieht im Detail ( `capture show` ) dann so aus, wie Abb. 6 es zeigt.

Diese Oszilloskop-Ansicht ist auf Minimum und Maximum der Messpunkte skaliert und linear aufgetragen. Bei so einer Sinus-Schwingung mit vergleichsweise großer Amplitude ist deren Binning-Tabelle nicht so sonderlich interessant, da die Messpunkte über einen weiten Bereich verstreut liegen (Abb. 2).

Die logarithmisch mit festen Grenzen aufgetragene Fourier-Ansicht zeigt — im Rahmen ihrer Auflösung mit nur 512 Messpunkten — deutlich eine Schwingung um 12 kHz an Abb. 7.

Da wir hier nicht so viel Speicherplatz zur Verfügung haben, überschreibt die Fouriertransformation die Messergebnisse, so dass `show` nur einmal für jedes `capture` (oder direkt nach `live`) aufgerufen werden kann, was aber mit mehr Speicherplatz ohne weiteres auch anders implementiert werden könnte.

Schließlich möchte ich als letztes Anwendungsbeispiel die Ausgabe für ein konstantes Eingangssignal — hier 800 mV — zeigen (Abb. 8), anhand dessen das Rauschen des Signalfades, insbesondere mit Hilfe der hier ungekürzt abgedruckten Binning-Tabelle, charakterisiert werden kann (Abb. 3).

Die Abtastrate für alle Beispiele liegt bei 250 kHz, wobei ich für die Oszilloskop-Ansicht eine unkalibrierte Messpunkte-Zeitachse gewählt habe, und für die Fourier-Ansicht eine kalibrierte Frequenzachse in Kilohertz. Fast alles kann im Detail an den gewünschten Einsatzzweck angepasst werden — das Signallabor ist keinesfalls als statisches Werkzeug gedacht, sondern vielmehr als eine leicht anpassbare Sammlung von Ideen und Anregungen, wie eine Messwertedarstellung im Terminal gelingen kann. Wer noch viel ausgefeiltere Darstellungen benötigt, wird vermutlich die gepufferten Messpunkte als Rohdaten ausgeben und anschließend mit *Gnuplot* (<http://gnuplot.info/>) oder *GNU Octave* (<https://octave.org/>) im Detail untersuchen und auswerten.

## Details zur Implementierung

Das Signallabor läuft mit Mecrisp-Ice, einem 16-Bit-Forth, auf der ULX3S-FPGA-Ausprobierplatine, die typisch für analoge Schaltungen mit FPGAs einen separaten Analog-Digital-Wandler (MAX1125) besitzt, welcher in diesem Falle über eine SPI-Schnittstelle angesprochen wird.

Die Ansteuerung des Wandlers und die Aufnahme habe ich in Logik implementiert, welche Messwerte mit einer festen Abtastrate von hier 250 kHz in einen Puffer legt, der über zwei IO-Register angesprochen werden kann: Das Register `adc-valid` zeigt an, ob mindestens ein Messwert bereitliegt, welcher anschließend über das Register `adc-fifo` aus dem Puffer entnommen werden kann. Um Werte mit präzisen Zeitabständen einzulesen, wird zunächst der Puffer geleert (bei einem FIFO würden sonst zuerst alte Werte geliefert werden), anschließend werden frische Messwerte in einer engen Schleife aus dem FIFO entnommen und in ein Array im RAM abgelegt. Außerdem gibt es noch das Register `adc-channel`, womit der analoge Eingangskanal durch Umschalten eines Multiplexers gewählt werden kann, und `adc-result`, falls man einfach so mal in den zuletzt gewandelten Messwert reinschauen möchte. All dies ist im Listing `capture.txt` zu finden.

Wer das Prinzip noch ein bisschen verfeinern möchte, kann dafür sorgen, dass der Puffer in Logik von selbst „nachschiebt“, so dass ein Leeren vor der Aufnahme entfallen kann. Außerdem ist ein Flag, welches einen Überlauf anzeigt und manuell gelöscht werden kann, nützlich, wenn wir es mit sehr schnellen Abtastraten zu tun bekommen: Ein solches Flag hilft während der Entwicklung der Software sehr, um mit einer einfachen Abfrage prüfen zu können, ob es an irgendeiner Stelle einmal zu einem Verlust von Messwerten gekommen ist — hier ist jedoch

der speziell für Forth entwickelte Stack-Prozessor viel schneller als der Analog-Digital-Wandler, so dass auf diese ansonsten sehr empfehlenswerten „Sahnehäubchen“ verzichtet werden konnte.

Wer so etwas Ähnliches in einem Mikrocontroller implementieren möchte, wird vermutlich einen Interrupthandler zum Auslesen des Analog-Digital-Wandlers verwenden und die Werte direkt in der Tabelle oder — falls eine kontinuierliche Aufnahme gewünscht ist — in einem Ringpuffer hinterlegen.

Die Ganzzahl-Fouriertransformation, welche hier aus Platzgründen nicht abgedruckt ist, stellt außer den Definitionen `fix-fft ( 2^n inverse? -- scale )` und `fftswap ( 2^n -- )` folgende Datenstrukturen zur Verfügung, die ausgiebig verwendet werden:

```
512 constant N_WAVE
9 constant LOG2_N_WAVE
```

```
N_WAVE cells buffer: fft-real
N_WAVE cells buffer: fft-imag
```

Auch, falls keine Fouriertransformation gewünscht sein sollte, wird das Array `fft-real` aus Platzgründen direkt für die Aufnahme der Messwerte verwendet, wobei `fft-imag` für temporäre Berechnungen wie das Binning verwendet und anschließend wieder gelöscht wird.

Das Listing `asciisignal.txt` stellt im Wesentlichen hardwareunabhängige Werkzeuge für die Ausgabe eines in `fft-real` enthaltenen Signales bereit. Es beginnt mit einem Sortieralgorithmus, Heapsort, dessen Vergleich zwischen mit und ohne Vorzeichen umschaltbar implementiert ist. Dies ist wichtig, wenn zum Beispiel ein differentieller Analog-Digital-Wandler verwendet werden sollte. Außerdem gibt es die Möglichkeit zur Umwandlung von 16-Bit-Messwerten von vorzeichenlos zu vorzeichenbehaftet und umgekehrt. Weiter geht es mit kleinen ASCII-Art-Werkzeugen, bevor es spannend wird: Es folgen die Routinen für Mittelwert, Minimum und Maximum, ebenso jeweils in Varianten mit und ohne Vorzeichen, sowie das Binning — aus Platzgründen nur vorzeichenlos — wozu die Messwerte aus `fft-real` in `fft-imag` kopiert, dort sortiert und anschließend gezählt werden, um eine Tabelle für die Häufigkeit bestimmter Messwerte innerhalb der Aufnahme auszugeben. Zum Abschluss folgt die „Signaldruckerei“, welche schließlich die schon in der Vorstellung der Beispielsignale zu bestaunenden Ausgaben zeichnet.

Zu guter Letzt folgt im Listing `live.txt` die Implementierung des Live-Binnings, wo mit Hilfe von Schiebebefehlen eine sehr schnelle Übersicht der Messwerte mit einer festen Breite von 64 Zeichen erstellt wird. Diese Implementierung ist natürlich nicht so flexibel wie die Routinen in Listing `asciisignal.txt`, dafür jedoch ist die benötigte Rechenzeit zwischen zwei Aufnahmen so kurz wie möglich, was für eine Live-Ansicht entscheidend ist.

## Anhang: Abbildungen

```

Avg:  1478  Min:   136  Max:  2831  [ @;::,,....._.....,;;!;
Avg:  1476  Min:   135  Max:  2832  [ @;::,,....._.....,;;!;
Avg:  1478  Min:   257  Max:  2709  [ @;::,,....._.....,;;!!
Avg:  1485  Min:   257  Max:  2706  [ @;::,,....._.....,;;!!
Avg:  1483  Min:   380  Max:  2585  [ .@;::,,.....,;;!|
Avg:  1488  Min:   373  Max:  2586  [ .@;::,,.....,;;!|
Avg:  1480  Min:   499  Max:  2463  [ !@;::,,.....,;;;|@
Avg:  1486  Min:   502  Max:  2464  [ ;@;::,,.....,;;;||
Avg:  1478  Min:   627  Max:  2338  [ !|;::,,.....,;;;|@
Avg:  1479  Min:   626  Max:  2338  [ !|;::,,.....,;;;!@
Avg:  1482  Min:   749  Max:  2217  [ !|;::,,.....,;;;!@
Avg:  1485  Min:   747  Max:  2219  [ !|;::,,.....,;;;!@
Avg:  1482  Min:   868  Max:  2094  [ !!;::,,.....,;;;!@
Avg:  1479  Min:   870  Max:  2097  [ !!;::,,.....,;;;!@
Avg:  1483  Min:   992  Max:  1977  [ |!;::,,.....,;;;@
Avg:  1486  Min:   992  Max:  1977  [ |!;::,,.....,;;;!@
Avg:  1718  Min:  1226  Max:  2211  [ @!;::,,.....,;;;|
Avg:  1719  Min:  1227  Max:  2216  [ @;::,,.....,;;;|
Avg:  1965  Min:  1471  Max:  2456  [ @;::,,.....,;;;!!
Avg:  1967  Min:  1476  Max:  2461  [ @;::,,.....,;;;!!
Avg:  2217  Min:  1727  Max:  2712  [ @;::,,.....,;;;!!
Avg:  2221  Min:  1727  Max:  2715  [ @;::,,.....,;;;!!
Avg:  2467  Min:  1973  Max:  2959  [ !@!;::,,.....,;;;!!!
Avg:  2464  Min:  1974  Max:  2961  [ ;@!;::,,.....,;;;!!!
Avg:  2706  Min:  2210  Max:  3199  [ !!;::,,.....,;;;@
Avg:  2707  Min:  2213  Max:  3202  [ !!;::,,.....,;;;@.
Avg:  2951  Min:  2456  Max:  3447  [ |!;::,,.....,;;;!@
Avg:  2957  Min:  2461  Max:  3454  [ |!;::,,.....,;;;@

```

Abbildung 1: Live-Binning. Funktionsgenerator einstellen: Sinus-Amplitude verringern, dann Offset erhöhen.

Avg: 1991	Avg: 1977
Min: 749	Min: 1968
Max: 3206	Max: 1989

ADC	#	ADC	#
749	1	1968	1
750	4	1969	1
751	4	1971	2
753	2	1972	3
754	2	1973	8
755	2	1974	11
756	1	1975	20
757	3	1976	88
...		1977	118
3197	1	1978	119
3198	3	1979	79
3199	4	1980	31
3200	1	1981	12
3201	2	1982	9
3202	2	1983	4
3205	2	1984	3
3206	1	1986	2
		1989	1

Abbildung 2: Binning-Tabelle, 12-kHz-Sinusschwingung.

Abbildung 3: Binning-Tabelle, konstante Spannung mit Rauschen.



Avg:	1976	Min:	1969	Max:	1986	[	@	]
Avg:	1976	Min:	1952	Max:	2002	[	@!	]
Avg:	1976	Min:	1875	Max:	2079	[	@	]
Avg:	1977	Min:	1745	Max:	2209	[	@ !!!!	]
Avg:	1974	Min:	1604	Max:	2349	[	@!;;;;;!!	]
Avg:	1977	Min:	1478	Max:	2482	[	@!;;;;;!!	]
Avg:	1978	Min:	1387	Max:	2565	[	! !;;;;;!!@.	]
Avg:	1973	Min:	1365	Max:	2589	[	@!;;;;;!!	]
Avg:	1977	Min:	1405	Max:	2549	[	_@;;;;;!!	]
Avg:	1976	Min:	1503	Max:	2455	[	! ;;;;;!!	]
Avg:	1975	Min:	1640	Max:	2321	[	! !;;;;;!!	]
Avg:	1977	Min:	1781	Max:	2171	[	: !!!!@	]
Avg:	1976	Min:	1898	Max:	2055	[	! @,	]
Avg:	1976	Min:	1965	Max:	1989	[	@:	]
Avg:	1976	Min:	1960	Max:	1992	[	@!	]
Avg:	1976	Min:	1890	Max:	2062	[	@!	]
Avg:	1977	Min:	1768	Max:	2187	[	! !!!!@,	]
Avg:	1975	Min:	1625	Max:	2327	[	@! !;;;;;!!	]
Avg:	1975	Min:	1491	Max:	2464	[	@! !;;;;;!!	]
Avg:	1979	Min:	1400	Max:	2556	[	: !;;;;;!!@	]
Avg:	1973	Min:	1366	Max:	2590	[	@! !;;;;;!!	]
Avg:	1977	Min:	1392	Max:	2564	[	; !;;;;;!!@	]
Avg:	1978	Min:	1486	Max:	2468	[	@! !;;;;;!!	]
Avg:	1974	Min:	1613	Max:	2338	[	@! !;;;;;!!	]
Avg:	1976	Min:	1762	Max:	2191	[	! !!!!@!	]
Avg:	1976	Min:	1884	Max:	2074	[	@	]
Avg:	1976	Min:	1958	Max:	1996	[	@!	]
Avg:	1976	Min:	1965	Max:	1988	[	@.	]

Abbildung 4: Live-Binning, amplitudenmodulierter Träger.



```
Avg:   1973  Min:    746  Max:   3209  [      !|;:,.,.,.,.,.,.,.,.,.,.:,:;!@,      ]
```

Abbildung 5: Live-Ansicht einer 12-kHz-Sinusschwingung mit 1-Vpp-Amplitude und 800-mV-Offset

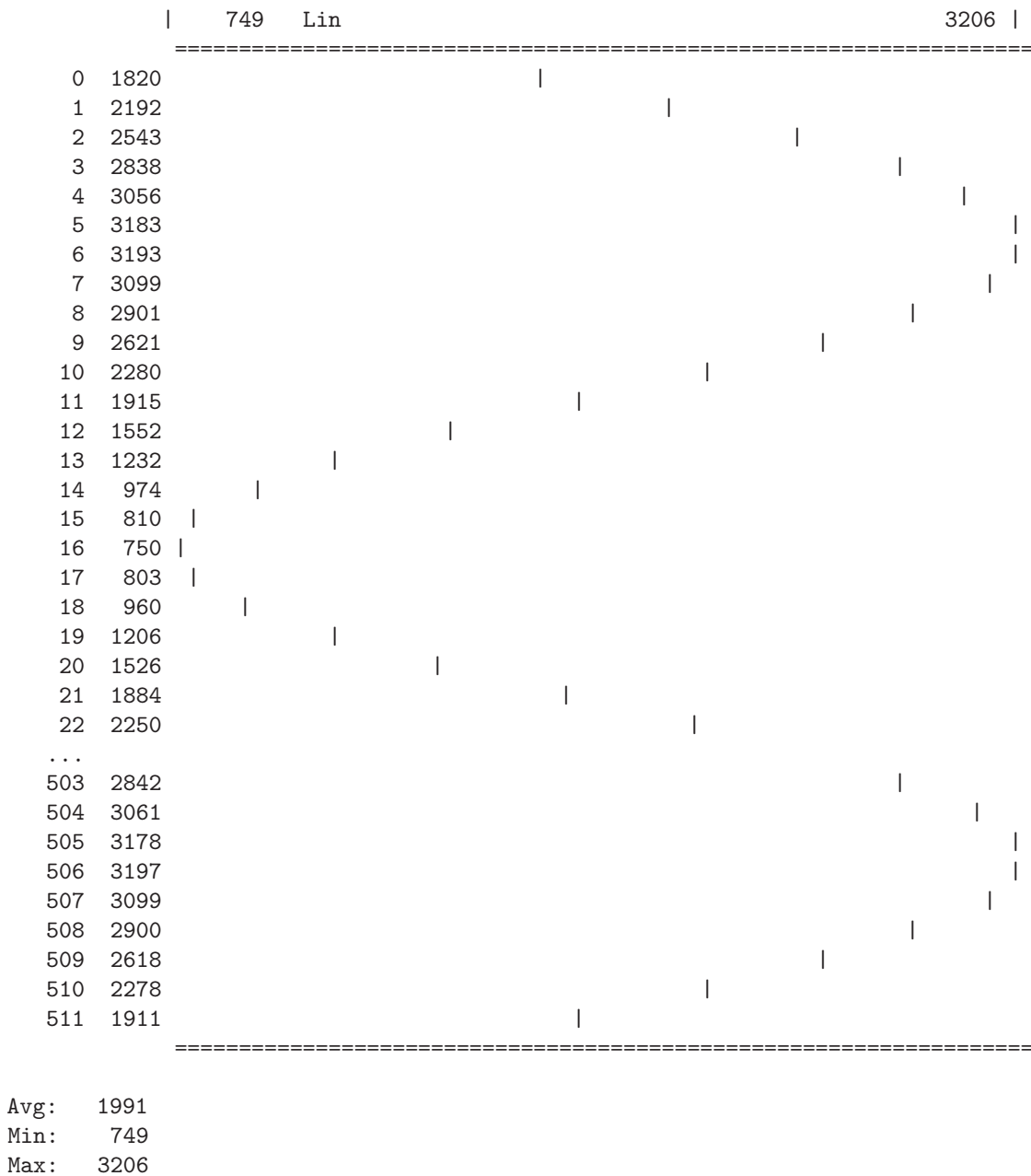
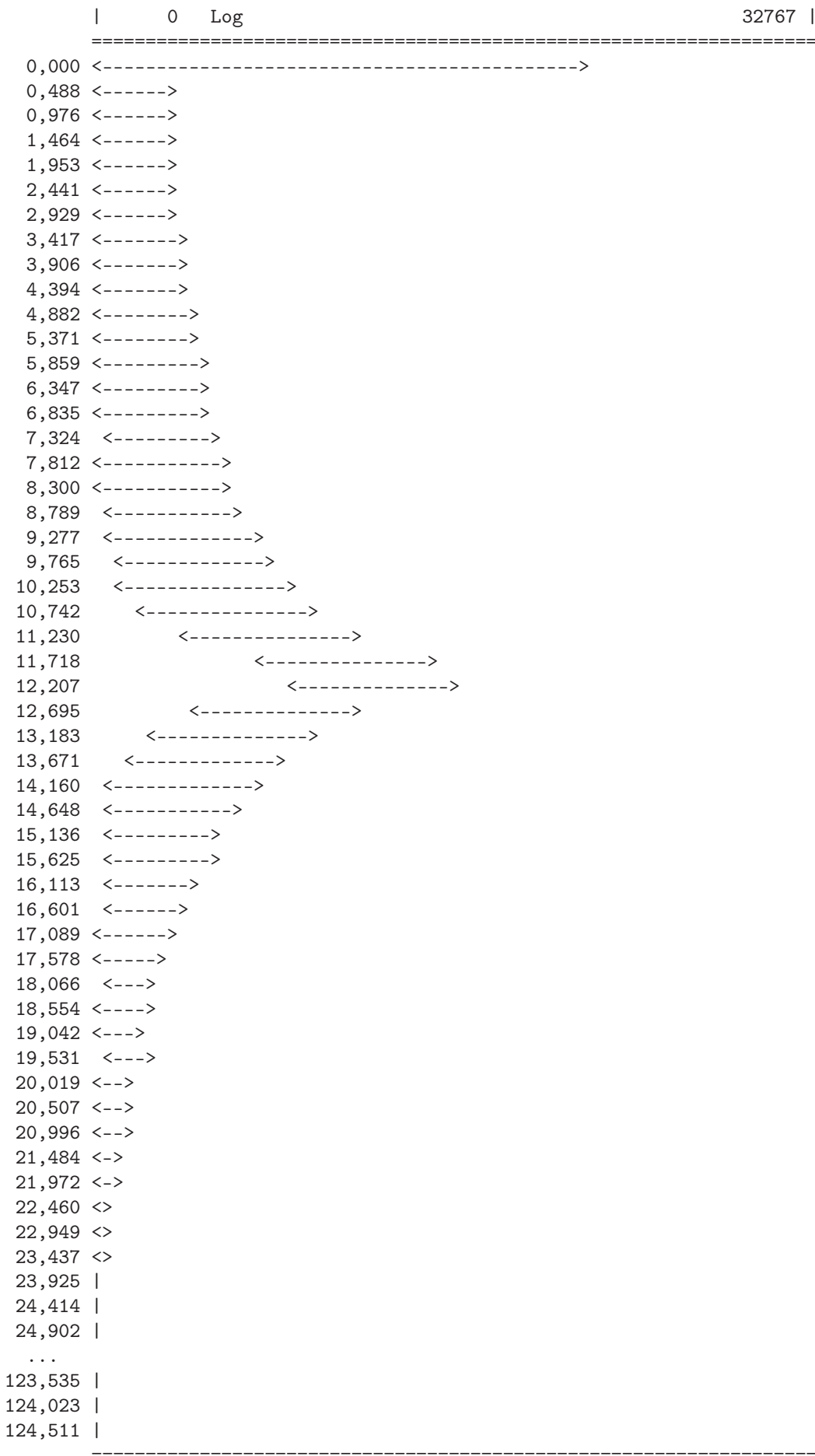


Abbildung 6: Oszilloskop-Ansicht einer 12-kHz-Sinusschwingung



ok.

Abbildung 7: Fourier-Ansicht der 12-kHz-Sinusschwingung aus Abb. 6.



```
live
Avg:  1977  Min:  1962  Max:  1989  [                               ]
ok.
```

```
capture show
|  1968  Lin                                1989  |
=====
0  1977                                     |
1  1979                                     |
2  1975                                     |
3  1975                                     |
4  1977                                     |
5  1977                                     |
6  1974                                     |
7  1979                                     |
8  1978                                     |
9  1978                                     |
10 1979                                     |
11 1977                                     |
12 1978                                     |
...
506 1978                                    |
507 1979                                    |
508 1979                                    |
509 1975                                    |
510 1977                                    |
511 1982                                    |
=====
```

```
Avg: 1977
Min: 1968
Max: 1989
```

```
|      0  Log                                32767  |
=====
0,000 <----->
0,488 |
0,976 |
1,464 |
1,953 |
2,441 |
...
123,535 |
124,023 |
124,511 |
=====
```

Abbildung 8: Konstante Spannung mit Rauschen in drei Ansichten (von oben nach unten): Live, Oszilloskop- und Fourier-Ansicht.

## Listings

### asciisignal.txt

```

1
2 \ Requires double, fixpoint, bitlog and fourier.
3
4 \ -----
5 \ Heapsort
6 \ https://rosettacode.org/wiki
7 \ /Sorting_algorithms/Heapsort#Forth
8 \ -----
9
10 : r'@
11   r> r> r@ swap >r swap >r ;
12
13 ' < variable heapsort-comparison
14
15 : precedes ( n1 n2 a -- f)
16   >r cells r@ + @ swap cells
17   r> + @ swap heapsort-comparison @ execute ;
18 : exchange ( n1 n2 a -- )
19   >r cells r@ + swap cells
20   r> + over @ over @ swap rot ! swap ! ;
21
22 : siftDown          ( a e s -- a e s)
23   swap >r swap >r dup      ( s r)
24   begin                ( s r)
25     dup 2* 1+ dup r'@ <    ( s r c f)
26     while                ( s r c)
27       dup 1+ dup r'@ <    ( s r c c+1 f)
28       if                 ( s r c c+1)
29         over over r@ precedes if swap then
30         then drop        ( s r c)
31         over over r@ precedes
32         while            ( s r c)
33           tuck r@ exchange ( s r)
34           repeat then     ( s r)
35           drop drop r> swap r> swap ( a e s)
36       ;
37
38 : heapsort-core      ( a n --)
39   over >r            ( a n)
40   dup 1- 1- 2/       ( a c s)
41   begin              ( a c s)
42     dup 0< 0=        ( a c s f)
43     while            ( a c s)
44       siftDown 1-    ( a c s)
45       repeat drop    ( a c)
46
47   1- 0               ( a e 0)
48   begin              ( a e 0)
49     over 0>          ( a e 0 f)
50     while            ( a e 0)
51       over over r@ exchange ( a e 0)
52       siftDown swap 1- swap ( a e 0)
53       repeat          ( a e 0)
54       drop drop drop r> drop
55   ;
56
57 : heapsort-signed ( addr len -- )
58   ['] < heapsort-comparison !
59   heapsort-core
60 ;
61
62 : heapsort-unsigned ( addr len -- )
63   ['] u< heapsort-comparison !
64   heapsort-core
65 ;
66
67 \ -----
68 \ Switch between unsigned and signed,
69 \ necessary for 16 Bit ADCs
70 \ -----
71
72
73 \ 0 .. 65535 <--> -32768 .. 32767
74 : un<-->signed ( -- )
75   N_WAVE 0 do
76     i dup fft-real@ $8000 xor swap fft-real!
77     \ i fft-real@ $8000 xor i fft-real!
78   loop
79 ;
80
81 \ 0 .. 65535 <--> -32768 .. 32767
82 : un<-->signed-imag ( -- )
83   N_WAVE 0 do
84     i dup fft-imag@ $8000 xor swap fft-imag!
85     \ i fft-imag@ $8000 xor i fft-imag!
86   loop
87 ;
88
89 \ -----
90 \ ASCII art tools
91 \ -----
92
93
94 \ Prints a s15.16 number
95 : f.nr7 ( f -- ) ( f-Low f-High n -- )
96
97   >r ( Low High R: n )
98
99   dup 0< >r
100   dabs
101   ( uLow uHigh )
102   0 <# #s ( uLow 0 0 )
103
104   r> if [char] - hold then
105
106   drop swap ( 0 uLow )
107
108   [char] , hold<
109   r> 0 ?do f# loop
110
111   #> dup 12 swap - spaces
112
113   type space
114 ;
115
116 : dashes 0 ?do [char] - emit loop ;
117
118 : airbar ( min max -- )
119   2dup =
120   if
121     drop
122     spaces [char] | emit
123   else
124     over      spaces [char] < emit
125     swap - 1- spaces [char] > emit
126   then
127 ;
128
129 : fillbar ( min max -- )
130   2dup =
131   if
132     drop
133     spaces [char] | emit
134   else
135     over      spaces [char] < emit
136     swap - 1- dashes [char] > emit
137   then
138 ;
139
140 \ -----
141 \ Signal statistics
142 \ -----
143
144 : stats ( -- avg min max )
145   0.
146   N_WAVE 0 do
147     i fft-real@ 0 d+
148   loop

```





```

149 \ N_WAVE um/mod nip
150 LOG2_N_WAVE 2rshift drop
151
152 -1
153 N_WAVE 0 do
154   i fft-real@ umin
155 loop
156
157 0
158 N_WAVE 0 do
159   i fft-real@ umax
160 loop
161 ;
162
163 : stats-signed ( -- avg min max )
164 0.
165 N_WAVE 0 do
166   i fft-real@ m+
167 loop
168 \ N_WAVE sm/rem nip
169 LOG2_N_WAVE 2arshift drop
170
171 32767
172 N_WAVE 0 do
173   i fft-real@ min
174 loop
175
176 -32768
177 N_WAVE 0 do
178   i fft-real@ max
179 loop
180 ;
181
182 : printstats ( -- )
183 cr
184 stats
185 rot ." Avg: " 6 u.r cr
186 swap ." Min: " 6 u.r cr
187 ." Max: " 6 u.r cr
188 ;
189
190 : printstats-signed ( -- )
191 cr
192 stats-signed
193 rot ." Avg: " 6 .r cr
194 swap ." Min: " 6 .r cr
195 ." Max: " 6 .r cr
196 ;
197
198
199 : printbin-signed ( bin count -- )
200 dup if swap 6 .r 6 .r cr else 2drop then
201 ;
202
203 : signal-binning-signed ( -- )
204
205 cr
206 13 dashes cr
207 ."   ADC   #" cr
208 13 dashes
209
210 fft-real fft-imag N_WAVE cells move
211 fft-imag N_WAVE heapsort-signed
212
213 cr
214 -32768 0
215 N_WAVE 0 do
216   over i fft-imag@ =
217   if 1+
218   else
219     printbin-signed
220     i fft-imag@ 1
221   then
222   loop
223   printbin-signed

```

```

224
225   fft-imag N_WAVE cells 0 fill
226 ;
227
228 : printbin ( bin count -- )
229   dup if swap 6 u.r 6 u.r cr else 2drop then
230 ;
231
232 : signal-binning ( -- )
233
234 cr
235 13 dashes cr
236 ."   ADC   #" cr
237 13 dashes
238
239 fft-real fft-imag N_WAVE cells move
240 fft-imag N_WAVE heapsort-unsigned
241
242 cr
243 0 0
244 N_WAVE 0 do
245   over i fft-imag@ =
246   if 1+
247   else
248     printbin
249     i fft-imag@ 1
250   then
251   loop
252   printbin
253
254   fft-imag N_WAVE cells 0 fill
255 ;
256
257 \ -----
258 \   Signal plotters
259 \ -----
260
261 : u*/ ( a b c -- d ) >r um* r> um/mod nip ;
262
263 80 13 - constant WIDTH
264
265 : signalplot-lin-bounds ( umin umax -- )
266
267 cr
268 13 spaces
269 ." | " over 6 u.r
270 ."   Lin" WIDTH 22 - spaces dup 6 u.r
271 ." |"
272 cr
273 13 spaces
274 WIDTH 0 do [char] = emit loop cr
275
276 2dup = if 1+ then \ Prevent division by zero!
277 over - ( min range )
278
279 N_WAVE 0 do
280   i 6 u.r
281   over i fft-real@ dup 6 u.r space
282   swap - over WIDTH 1- swap u*/
283   spaces [char] | emit cr
284 loop
285
286 13 spaces
287 WIDTH 0 do [char] = emit loop cr
288
289 2drop
290 ;
291
292 : signalplot-lin-bounds-signed ( min max -- )
293
294 cr
295 13 spaces
296 ." | " over 6 .r
297 ."   Lin" WIDTH 22 - spaces dup 6 .r
298 ." |"
299 cr

```

```

300 13 spaces
301 WIDTH 0 do [char] = emit loop cr
302
303 2dup = if 1+ then \ Prevent division by zero!
304 over - ( min range )
305
306 N_WAVE 0 do
307   i 5 u.r
308   over i fft-real@ dup 7 .r space
309   swap - over WIDTH 1- swap u*/
310   spaces [char] | emit cr
311 loop
312
313 13 spaces
314 WIDTH 0 do [char] = emit loop cr
315
316 2drop
317 ;
318
319 : signalplot-log-bounds ( umin umax -- )
320
321 cr
322 13 spaces
323 ." | " over 6 u.r
324 ."    Log" WIDTH 22 - spaces dup 6 u.r
325 ." | "
326 cr
327 13 spaces
328 WIDTH 0 do [char] = emit loop cr
329
330 bitlog swap bitlog swap
331
332 2dup = if 1+ then \ Prevent division by zero!
333 over - ( min range )
334
335 N_WAVE 0 do
336   i 6 u.r
337   over i fft-real@ dup 6 u.r space bitlog
338   swap - over WIDTH 1- swap u*/
339   spaces [char] | emit cr
340 loop
341
342 13 spaces
343 WIDTH 0 do [char] = emit loop cr
344
345 2drop
346 ;
347
348 100,0 2variable samplerate
349
350 : fft-plot ( -- ) \ FFT output is always signed
351 cr
352 13 spaces
353 ." | " 0 6 u.r
354 ."    Log" WIDTH 22 - spaces $7FFF 6 u.r
355 ." | "
356 cr
357 13 spaces
358 WIDTH 0 do [char] = emit loop cr
359
360 N_WAVE
361 \ 0 do \ Symmetric printout
362 N_WAVE 2/ do \ Start with DC component
363
364
365   i N_WAVE 2/ -
366   s>f N_WAVE
367   s>f f/ samplerate 2@ f* 3 f.nr7
368
369   i fft-real@ abs bitlog
370   WIDTH 1- $7FFF bitlog u*/
371   i fft-imag@ abs bitlog
372   WIDTH 1- $7FFF bitlog u*/
373
374 2dup umax >r

```

```

375         umin r> ( min max )
376
377         fillbar
378         cr
379
380         loop
381
382         13 spaces
383         WIDTH 0 do [char] = emit loop cr
384 ;
385
386
387 : signalplot-lin ( -- )
388   0 65535
389   signalplot-lin-bounds
390 ;
391
392 : signalplot-lin-min-max ( -- )
393   stats rot drop
394   signalplot-lin-bounds
395 ;
396
397
398 : signalplot-lin-signed ( -- )
399   -32768 32767
400   signalplot-lin-bounds-signed
401 ;
402
403 : signalplot-lin-min-max-signed ( -- )
404   stats-signed rot drop
405   signalplot-lin-bounds-signed
406 ;
407
408
409 : signalplot-log ( -- )
410   0 65535
411   signalplot-log-bounds
412 ;
413
414 : signalplot-log-max ( -- )
415   0 stats rot drop nip
416   signalplot-log-bounds
417 ;
418

```

## capture.txt

```

1
2 \ -----
3 \   Registers
4 \ -----
5
6 $2030 constant adc-result
7 $2040 constant adc-channel
8 $20B0 constant adc-valid
9 $20C0 constant adc-fifo
10
11 \ -----
12 \   Capture using FIFOs in logic
13 \ -----
14
15 : capture ( -- )
16
17   \ Clear FIFO
18   begin
19     adc-valid io@
20     while
21       adc-fifo io@ drop
22     repeat
23
24   \ Capture measurements
25   fft-real
26   begin
27     begin adc-valid io@ until adc-fifo io@
28

```



```

29     over !
30     1 cells +
31     dup fft-real N_WAVE cells + =
32 until
33 drop
34
35     fft-imag N_WAVE cells 0 fill
36 ;
37
38 \ -----
39 \   Analyse the signal
40 \ -----
41
42 : show ( -- )
43
44     signalplot-lin-min-max
45     printstats
46     signal-binning
47
48     \ un<->signed
49
50     LOG2_N_WAVE false fix-fft drop
51     LOG2_N_WAVE fftswap
52
53     250,000 samplerate 2!
54     fft-plot
55 ;
56
57 \ How to use:
58 \
59 \   0 adc-channel io!
60 \   capture show
61

```

## live.txt

```

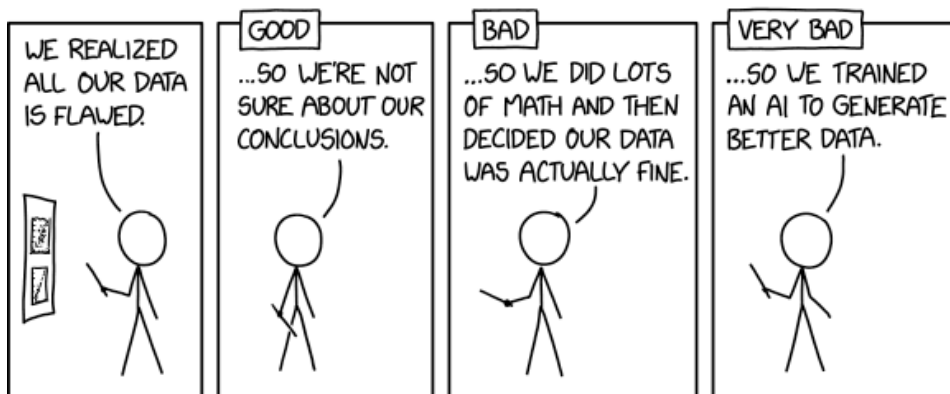
1 : live-bins ( -- )
2
3 \ Clear bins
4 64 0 do 0 i fft-imag! loop
5

```

```

6 \ Collect all data points into bins
7 N_WAVE 0 do
8
9     \ 10 rshift for 16 bit ADC,
10    \ 6 rshift for 12 bit ADC
11    1 i fft-real@ 6 rshift cells fft-imag + +!
12 loop
13
14 \ Find maximum value for scaling
15 0
16 64 0 do i fft-imag@ umax loop
17 bitlog ( maxcount )
18
19 \ Print bins as scaled ASCII art
20 64 0 do
21     i fft-imag@ bitlog ( maxcount count )
22
23     \ Scale maximum to available chars
24     over 8 swap u*/
25
26     \ 01234567890123456789012345678901234
27     s" _.,:;|!@" drop
28
29     + c@ emit
30 loop
31 drop
32 ;
33
34 : live ( -- )
35 cr
36 begin
37     capture
38     stats
39
40     rot ." Avg: " 6 u.r
41     swap ."   Min: " 6 u.r
42     ."   Max: " 6 u.r
43
44     ." [" live-bins ." ]" cr
45
46     esc? until
47 ;
48

```



„Flawed Data“ — Quelle: <https://xkcd.com/2494>

# Pictured Numeric Output

Michael Kalus

Wie der geneigte Leser ja bereits weiß, beschäftigt mich die Frage, wie so ein „Haufen Draht“ (Computer) es schafft, mit mir zu sprechen. Bei der Aufklärung hat mir Forth immer geholfen, denn man kann es bis hinunter zu den Bits und Bytes in der Maschine auseinandernehmen und verstehen.

Man kennt das „hello world“ der MCUs: Eine blinkende LED — erste Lebenszeichen einer solch kleinen Maschine und der Beweis, dass man es geschafft hat, sie zum Leben zu erwecken. Diese binären „blinken lights“ wurden später von Schriftzeichen auf Bildschirmen abgelöst. So können Leute heute tatsächlich lesen, was die Maschine sagt!

Es war ein langer Weg bis zur internationalen Verständigung auf Zeichensätze für alle Sprachen dieser Erde. Das ist gelungen und heute kann man tatsächlich mehr auf dem Bildschirm anzeigen als das Alphabet. Die Buchstaben waren jedoch der Anfang. Graphisch vereinfacht für die Maschinen haben sie als ASCII einen Siegeszug um die Welt gemacht. Ohne das gäbe es Forth nicht, es lebt ja von seinen **words**, den Zeichenketten aus solchen Buchstabencodes. Das **type** ist zentral im Forth, es schickt die Zeichenkette an das Terminal wo es dann für das menschliche Auge lesbar erscheint. Vom ASCII zum UTF<sup>1</sup> war es aber noch ein langer Weg, doch das ist eine andere Geschichte. Die Anfänge zeigt Abb. 1. Wie das heute ist, seht ihr ja an unserem Forth-Magazin. Schließlich ist es komplett gesetzt am Laptop, zu Hause, in L<sup>A</sup>T<sub>E</sub>X.



Abbildung 1: Aus den Anfängen: Die 14-Segment-Anzeige

Wie die Maschine solche Codes handhabt, kann man in Forth ja einfach verfolgen, oder? Eine Zeichenkette, im Speicher als ASCII-Sequenz aus Bytes abgelegt, wird von **type** an das Terminal geschickt, an die Stelle des Schreibzeigers (Cursor).

```
locate type
/usr/share/gforth/0.7.9_20220713/kernel/
io.fs:72
User out ( -- addr ) \ gforth
\G counts number of characters TYPED
\G or EMITed; CR resets it

: (type) ( c-addr u -- ) \ gforth
  dup out +!
  outfile-id write-file drop ;
```

Es ist Sache des Betriebssystems deiner Maschine, wie das bewerkstelligt wird, und Sache der Implementation des Forth, die Zeichenkette (String) an das Betriebssystem zu übergeben. Von Interesse ist hier lediglich, dass dazu die Adresse **c-addr** des Strings und seine Länge **u** gebraucht werden.

Doch anders als die ASCII-Zeichen von Texten, liegen die Zahlen *binär* im Speicher des Computers. In einem 64-Bit-System bilden 8 Bytes eine *CELL* für die Zahl. Doch für die Darstellung im Text müssen wir diesen Zahlenwert in die *Ziffernfolge eines Stellenwertsystems* umschreiben.

Im Dezimalsystem haben wir dafür den bekannten Ziffernvorrat 0 1 2 3 4 5 6 7 8 9. Im Hexadezimalen gibt es darüber hinaus noch A B C D E F, da wird schon eine Anleihe bei den Buchstaben gemacht, denn es gibt keine eigenen Ziffern dafür. Das Binärsystem hingegen nutzt nur die Ziffern 0 und 1 zur Abbildung.<sup>2</sup>

## Vom **n** zur numerischen Zeichenkette

Wie wird eine digital abgelegte ganze Zahl (Integer Number) **n** in das Stellenwertsystem übertragen?

„Tja, Leute, das ist Mathematik!“ (Martin Bitter)

Indem **n** durch die Basis geteilt wird, verschieben sich die Stellen um eine nach rechts. Sei die Basis 10, der Wert 12345, dann ergibt die Division durch 10 den Wert 1234 mit dem Rest 5.

```
decimal
12345 10 /mod . . 1234 5 ok
```

Die Ziffer 5 (Least Significant, „Einer“) wird bei **/mod** als Rest der Teilung auf dem Stack hinterlassen. Das ist die erste Ziffer der Zahl, von rechts gesehen. Dieser Wert muss dann in ASCII verwandelt werden.

```
see #
: # ( d1 -- d2 )
  base @ ud/mod
  rot dup #9 u> #7 and +
  #48 + hold ;
```

Das Forthwort **#** kalkuliert den Code der Einer-Stelle, welcher von **hold** in den Puffer geschrieben wird. Doch

<sup>1</sup> American Standard Code for Information Interchange; Universal Coded Character Set Transformation Format.

<sup>2</sup> Das ist so, weil wir das Stellensystem aus dem Arabischen übernommen haben, die es wiederum vom Sanskrit haben; die römische Zahlschrift hat sich dagegen nicht halten können in Wissenschaft, Technik, Handel und Wandel.

wie kommt man darauf, dass es so ist? Nun, man handelt sich durch die Zahlenausgabe. Bekanntlich schreibt man in Forth den „Punkt“ . dafür. Einfacher gehts nicht.

```
decimal ok
123 456 + . 579 ok
```

Bevor wir dazu kommen, den „Punkt“ zu analysieren, zunächst zum eigentlichen Problem.

Das Stellenwertsystem ist ja arabisch, da wird im Schreibfluss von rechts nach links natürlicherweise von der niedrigsten zur höchsten Stelle die Zahl aufgeschrieben. Aber wir schreiben verkehrt herum, von links nach rechts, was zur Folge hat, dass wir die Ziffern nicht wie sie kommen sogleich ausgeben können, sondern erst einmal aufbauen und vorrätig halten müssen — `hold` — um sie dann von dort als String per `type` ausgeben zu können.

Und wollen wir die Ziffern gar rechtsbündig haben oder mit führenden Nullen oder mit Komma darin und Punkten zwischen Dreiergruppen, Vorzeichen und Währungssymbolen auch noch, dann können die auch nicht einfach so Stelle für Stelle ans Terminal gehen. Auch die eingefügten Satzzeichen müssen mit in den `hold`-Buffer eingebaut werden, damit das komplette Zahlenbild entsteht.

Dieses Zahlenbild wurde im englischsprachigen Forth „pictured numeric output“ getauft. Gforth spricht auch vom „formatted output“ für seine „numeric-to-ASCII conversion“. Andere Systeme wie Python, Excel, Word, Java sprechen da von „number formatting“. So oder so, das Problem ist überall dasselbe.

Im Libre Office Calc z. B. wird den „Numbers“ ein Format-Code zugeordnet, um eine bestimmte Darstellung zu erreichen. Es sind etliche vorgefertigte da, derer man sich bedienen kann. Es gehen aber auch eigene Formate. Der Format-Code wird als „Bild“ vorgegeben.

Die Zahl 1234.56 ergibt z. B.:

Format-Code	Darstellung
000,000,000.00	000,001,234.56
###,##00,000.00	01,234.56

Tabelle 1: Formatierungsbilder und ihre Darstellung in anderen Sprachen

Alle # bleiben leer und alle 0 werden mit 0 aufgefüllt, falls an ihrem Platz keine Ziffern übrig sind, ansonsten kommt die Ziffer dahin. Auch seltsam, oder?

## Der Forth-Weg

Problem erfasst. Und wie hat Forth das praktisch gelöst?

Schauen wir nach. In Gforth hat es die Kommandos `see` und ab Version 0.7.9. auch `locate`, um die Konstruktion eines Forthwortes anzusehen. Wir bekommen:

```
see .
: .
  s>d d. ; ok

oder

locate
/usr/share/gforth/0.7.9_20220217/kernel/
nio.fs:131

: . ( n -- ) \ core dot
  s>d d. ;
```

Ihr seht, `locate` liefert sowohl den Pfad zur Definition im Quelltext — `nio.fs` — als auch das Zitat.<sup>3 4</sup>

Hm, ganz so schlicht ist der Punkt innen drin also nicht, da passiert doch mehr, als man vielleicht vermutet. `s>d` wandelt von einfachgenauer Ganzzahl in eine doppeltgenaue. Und diese wird anschließend mittels `d.` ausgegeben. Zitat aus der Doku des Gforth:

„Three important things to remember about pictured numeric output:

1. It always operates on double-precision numbers; to display a single-precision number, convert it first (for ways of doing this see Double precision).
2. It always treats the double-precision number as though it were unsigned ...
3. The string is built up from right to left; least significant digit first.“

Wozu der ganze Umstand? Liegt das Geheimnis der Darstellung im `d.` vergraben?<sup>5</sup>

```
: d. ( d -- ) \ double d-dot
  0 d.r space ;
```

Hm, da ist noch immer nicht zu erkennen, wie die Zifferndarstellung gemacht wird. Es wird `d.r` verwendet, was die rechtsbündige Ausgabe von `d` ist. Der Versatz nach rechts ist aber auf Null gesetzt im „Punkt“. Und nach den Ziffern wird noch ein Leerzeichen ausgegeben.

Also tauchen wir noch tiefer ein.

```
: d.r ( d n -- )
  >r tuck dabs <<# #s rot sign #> r> over -
  spaces type #>> ;
```

Ja, da passiert es: `type` ist die String-Ausgabe! Sieht so aus, als hätten wir hier nun tatsächlich die *numeric-to-ascii conversion* der Zahl vor uns. Und die `spaces` machen die passenden Leerzeichen *vor* die Ziffernkette, grade so viele, dass diese rechtsbündig aussieht. Das `r> over -` kalkuliert, wie viele `spaces` gebraucht werden. Im folgenden Beispiel wird die Zahl 12345 um 10 Zeichen nach

<sup>3</sup> Hier auszugsweise wiedergegeben. Im Listing ist der komplette Quellcode.

<sup>4</sup> `\G` ist ein Alias von `\` und wird gebraucht, um das Handbuch zu erstellen. Von der Funktion her kennzeichnet es auch einfach nur eine Zeile als Kommentar.

<sup>5</sup> Die folgenden Codeschnipsel wurden der Quelle entnommen mit `see` oder `locate` und für das Layout des Magazins aufbereitet.



rechts versetzt und dort von rechts nach links geschrieben, also arabisch in unsere Links-Rechts-Schreibung eingepasst.

```
12345 s>d 10 d.r      12345 ok
```

Die Hürde ist somit genommen, es funktioniert.

Wir haben erkannt: Der Punkt wird aus dem allgemeiner verwendbaren Faktor `d.r` erzeugt, er ist ein Spezialfall. Das ist besonders! Denn offensichtlich steht dann da nicht nur die 5. Es erscheint die komplette Ziffernfolge! Forth erweitert wohl automatisch das Feld, falls mehr Ziffern da hinein sollen, als Platz angegeben worden ist. Wo versteckt sich das?

So wie es aussieht, stellen `<<# ... #>>` eine Klammer dar, innerhalb derer die eigentliche Konversion der Zahl zu ASCII-Ziffern stattfindet — wir kommen nachher noch dazu. Was zwischen `#>` und `#>>` passiert, haben wir schon geklärt, das ist die Ausgabe der Zeichenkette. Aber vor `<<#` steht noch `tuck dabs` und macht stutzig.

```
: tuck ( w1 w2 -- w2 w1 w2 ) \ core-ext
  swap over ;
```

Da wird also die höhere Zelle der doppeltgenauen Zahl zu unterst in den Stack manövriert, um das Vorzeichen zu retten, welches in `w2` enthalten ist. Um es nach der Konversion der Ziffernfolge noch voranstellen zu können. `rot sign` erledigt das.

Damit ist die eigentliche Konversion gefunden: `#s` macht das!

```
: #s ( ud -- 0 0 ) \ core number-sign-s
  BEGIN
  #
  2dup or 0= UNTIL ;
```

Ja, da ist die `begin ... until` Schleife, welche die Zahl Stelle für Stelle abarbeitet und in eine Ziffernfolge wandelt. Unser `#` ist das Arbeitstier darin, und das `2dup or 0=` stellt lediglich fest, ob die Zahl schon ganz aufgebraucht worden ist, denn dann sind wir fertig mit der Konversion. So, nun muss man nur noch herausfinden, wo denn die Zeichenkette ist, die soeben gebaut wurde: `#>` liefert uns die Adresse davon und deren Länge, fertig für `type`.

```
: #> ( xd -- addr u ) \ core number-sign-greater
  2drop holdptr @ holdend @ over - ;
```

## hold

Die Funktion `hold` ist noch nicht erklärt.

```
: +hold ( n -- addr )
  \G Reserve space for n chars in the
  \G pictured numeric buffer.
  \G -17 THROW if no space
  negate holdptr +!
  holdptr @ dup holdbuf u< -&17 and throw ;
```

<sup>6</sup> engl.: hold pointer

```
: hold ( char -- ) \ core
  \G Used within <## and #> .
  \G Append the character char to the
  \G pictured numeric output string.
  1 +hold c! ;
```

`hold` setzt den Schreibzeiger um eins weiter und speichert danach den Zeichencode `char` dorthin. Zwischendrin wird noch auf Pufferüberlauf getestet, für alle Fälle. Das bedeutet auch, dass der Puffer `holdbuf` und sein Schreibzeiger<sup>6</sup> `holdptr` an der Stelle dem Gforth schon bekannt sind.

Wie wurde dieser Puffer angelegt, woher weiß Gforth, wo der ist, und wie wird dessen Zeiger verwaltet? Wir kommen zurück auf die oben im Text schon erwähnten mysteriösen Klammern `<<# ... #>>`

```
: <<# ( -- ) \ gforth less-less-number-sign
  \G Start a hold area that ends with #>>.
  \G Can be nested in each other and in <#>.
  \G Note: if you do not match up the <<# with
  \G #>> , you will eventually run out of
  \G hold area;
  \G you can reset the hold area to empty
  \G with <# .
  holdend @ holdptr @ - hold
  holdptr @ holdend ! ;

: #>> ( -- ) \ gforth number-sign-greater-greater
  \G Release the hold area started with <<#.
  holdend @ dup holdbuf-end u>= -&11 and throw
  count chars bounds holdptr ! holdend ! ;
```

Offensichtlich wird der `hold`-Puffer damit verwaltet, aber nicht `ur`-initialisiert. Denn `<#` stellt den frisch bereit, ist aber bei der Nachverfolgung unseres „Punktes“ nirgends erschienen. Aber man findet es im `nio.fs` gleich beim `#>` und ist da nicht zu übersehen.

```
: <# ( -- )
  holdbuf-end dup holdptr ! holdend ! ;
```

Diese Initialisierung macht Gforth beim Start und ab da verwalten `<<#` und `#>>` den Puffer. Dass der Puffer vom Ende her gefüllt wird, ist, wie gesagt, der arabischen Abfolge geschuldet. Was hier rückwärts eingeschrieben wird, erscheint im `type` dann richtig herum, von links nach rechts. Wenn der String von seinem Ende her aufgebaut wird, muss man ihn fürs `type` nicht nochmal umdrehen.

Der Sinn dieser Holdarea-Klammer `<<#` und `#>>` ist dem Code selbst nicht so ohne weiteres zu entnehmen. Aber wer ähnliche Konstruktionen schon mal gesehen hat, ahnt, was das soll: Es dient dazu, die Ausgaben auch verschachteln zu können, *nesting* von Tasks wird möglich. Interrupt-fest ist das jedoch nicht.



## Eigene Zahlenformate

Mit dem nun Entdeckten sollte es gelingen, auch eigene Zahlenformate zu erzeugen. Wie wäre es mit der Ausgabe eines Dezimalpunktes, zwei Nachkommastellen und einem Dollar-Zeichen? Dazu bohren wir das `d.r` zu einem eigenen `print$` auf — siehe Listing 2. Es verhält sich dann wie der „Punkt“, jedoch mit Nachkommastellen und dem \$-Zeichen hinten dran.

```
123.45 567.90 d+ print 802.35$
```

Die Stelle des Dezimalpunktes wird in DPL gespeichert.<sup>7</sup> Das macht Gforth immer, benutzt es standardmäßig jedoch nicht. Aber man kann sich ja eigene Ausgaben machen, die das nutzen. Und auch andere Zeichen lassen sich einbauen, wie man sieht. Das €-Zeichen funktioniert

damit aber nicht, es ist im ASCII nicht enthalten. Dafür braucht man eine neuere Ausgabetechnik, doch das ist ja eine andere Geschichte.

## Links

<https://www.complang.tuwien.ac.at/forth/gforth/Docs-html/Formatted-numeric-output.html#Formatted-numeric-output>

<https://gforth.org/manual/Number-Conversion.html>

<https://de.wikipedia.org/wiki/Zahlzeichen>

Z. B.: <https://www.torsten-horn.de/techdocs/ascii.htm>

## Listing 1

```
1 \ Number IO
2
3 \ Authors: Anton Ertl, Bernd Paysan, Neal Crook, Jens Wilke
4 \ Copyright (C) 1995,1996,1997,1998,2000,2003,2006,2007,2010,2015,2016,2019 Free Software Foundation, Inc.
5
6 \ This file is part of Gforth.
7
8 \ Gforth is free software; you can redistribute it and/or
9 \ modify it under the terms of the GNU General Public License
10 \ as published by the Free Software Foundation, either version 3
11 \ of the License, or (at your option) any later version.
12
13 \ This program is distributed in the hope that it will be useful,
14 \ but WITHOUT ANY WARRANTY; without even the implied warranty of
15 \ MERCHANTABILITY or FITNESS FOR A PARTICULAR PURPOSE. See the
16 \ GNU General Public License for more details.
17
18 \ You should have received a copy of the GNU General Public License
19 \ along with this program. If not, see http://www.gnu.org/licenses/.
20
21 require ./io.fs
22
23 : pad ( -- c-addr ) \ core-ext
24   \G @var{c-addr} is the address of a transient region that can be
25   \G used as temporary data storage. At least 84 characters of space
26   \G is available.
27   here word-pno-size + aligned ;
28
29 \ hold <# #> sign # #s 25jan92py
30
31 : +hold ( n -- addr )
32   \G Reserve space for n chars in the pictured numeric buffer.
33   \G -17 THROW if no space
34   negate holdptr +!
35   holdptr @ dup holdbuf u< -&17 and throw ;
36
37 : hold ( char -- ) \ core
38   \G Used within @code{<#} and @code{#>}. Append the character
39   \G @var{char} to the pictured numeric output string.
40   1 +hold c! ;
41
42 : <# ( -- ) \ core less-number-sign
43   \G Initialise/clear the pictured numeric output string.
44   holdbuf-end dup holdptr ! holdend ! ;
45
46 : #> ( xd -- addr u ) \ core number-sign-greater
47   \G Complete the pictured numeric output string by discarding
48   \G @var{xd} and returning @var{addr u}; the address and length of
49   \G the formatted string. A Standard program may modify characters
```

<sup>7</sup> LEO BRODIE sagt (in *Starting Forth*, Kapitel 10): Decimal PLace. [Dank an BERND PAYSAN für den Hinweis auf die Herkunft der Abkürzung DPL.]

```

50      \G within the string. Does not release the hold area; use
51      \G @code{#>>} to release a hold area started with @code{<<#}, or
52      \G @code{<#} to release all hold areas.
53      2drop holdptr @ holdend @ over - ;
54
55 : <<# ( -- ) \ gforth    less-less-number-sign
56      \G Start a hold area that ends with @code{#>>}. Can be nested in
57      \G each other and in @code{<#}. Note: if you do not match up the
58      \G @code{<<#}s with @code{#>>}s, you will eventually run out of
59      \G hold area; you can reset the hold area to empty with @code{<#}.
60      holdend @ holdptr @ - hold
61      holdptr @ holdend ! ;
62
63 : #>> ( -- ) \ gforth    number-sign-greater-greater
64      \G Release the hold area started with @code{<<#}.
65      holdend @ dup holdbuf-end u>= -&11 and throw
66      count chars bounds holdptr ! holdend ! ;
67
68 : sign      ( n -- ) \ core
69      \G Used between @code{<<#} and @code{#>}. If @var{n}
70      \G (a @var{single} number) is negative, append the display code
71      \G for a minus sign to the pictured numeric output string. Since
72      \G the string is built up ‘‘backwards’’ this is usually used
73      \G immediately prior to @code{#>}, as shown in the examples below.
74      0< IF ‘-’ hold THEN ;
75
76 : # ( ud1 -- ud2 ) \ core          number-sign
77      \G Used between @code{<<#} and @code{#>}. Add the next
78      \G least-significant digit to the pictured numeric output
79      \G string. This is achieved by dividing @var{ud1} by the number in
80      \G @code{base} to leave quotient @var{ud2} and remainder @var{n};
81      \G @var{n} is converted to the appropriate display code (eg ASCII
82      \G code) and appended to the string. If the number has been fully
83      \G converted, @var{ud1} will be 0 and @code{#>} will append a ‘‘0’’
84      \G to the string.
85      \ special-casing base=#10 does not pay off:
86      \ <2022Mar11.130937@mips.complang.tuwien.ac.at>
87      base @ ud/mod rot dup 9 u>
88      [ char A char 9 1+ - ] Literal and +
89      ‘0’ + hold ;
90
91 : #s      ( ud -- 0 0 ) \ core    number-sign-s
92      \G Used between @code{<<#} and @code{#>}. Convert all remaining digits
93      \G using the same algorithm as for @code{#>}. @code{#s} will convert
94      \G at least one digit. Therefore, if @var{ud} is 0, @code{#s} will append
95      \G a ‘‘0’’ to the pictured numeric output string.
96      BEGIN
97      # 2dup or 0=
98      UNTIL ;
99
100 : holds ( addr u -- )
101      \G Used between @code{<<#} and @code{#>}. Append the string @code{addr u}
102      \G to the pictured numeric output string.
103      dup +hold swap move ;
104
105 \ print numbers                                07jun92py
106
107 : d.r ( d n -- ) \ double          d-dot-r
108      \G Display @var{d} right-aligned in a field @var{n} characters wide. If more than
109      \G @var{n} characters are needed to display the number, all digits are displayed.
110      \G If appropriate, @var{n} must include a character for a leading ‘‘-’’.
111      >r tuck dabs <<# #s rot sign #>
112      r> over - spaces type #>> ;
113
114 : ud.r ( ud n -- ) \ gforth        u-d-dot-r
115      \G Display @var{ud} right-aligned in a field @var{n} characters wide. If more than
116      \G @var{n} characters are needed to display the number, all digits are displayed.
117      >r <<# #s #> r> over - spaces type #>> ;
118
119 : .r ( n1 n2 -- ) \ core-ext       dot-r
120      \G Display @var{n1} right-aligned in a field @var{n2} characters wide. If more than
121      \G @var{n2} characters are needed to display the number, all digits are displayed.
122      \G If appropriate, @var{n2} must include a character for a leading ‘‘-’’.
123      >r s>d r> d.r ;
124
125 : u.r ( u n -- ) \ core-ext        u-dot-r

```



```

126      \G Display @var{u} right-aligned in a field @var{n} characters wide. If more than
127      \G @var{n} characters are needed to display the number, all digits are displayed.
128      0 swap ud.r ;
129
130 : d. ( d -- ) \ double   d-dot
131      \G Display (the signed double number) @var{d} in free-format. followed by a space.
132      0 d.r space ;
133
134 : ud. ( ud -- ) \ gforth      u-d-dot
135      \G Display (the signed double number) @var{ud} in free-format, followed by a space.
136      0 ud.r space ;
137
138 : . ( n -- ) \ core      dot
139      \G Display (the signed single number) @var{n} in free-format, followed by a space.
140      s>d d. ;
141
142 : u. ( u -- ) \ core      u-dot
143      \G Display (the unsigned single number) @var{u} in free-format, followed by a space.
144      0 ud. ;
145

```

## Listing 2

```

1 : print$ ( n -- ) \ print n with decimal point if any, append $
2                       \ needs variable DPL to work (Gforth specific)
3                       \ handling negatives, behaves like standard "dot"
4   s>d                 \ make it a double
5   tuck dabs           \ save sign byte followed by unsigned double
6   <<#                 \ start conversion
7   [char] $ hold       \ append "$"
8   dpl @ 0 ?do # loop \ convert decimal places
9   [char] . hold       \ insert "."
10  #s                  \ convert remaining digits
11  rot sign            \ get at sign byte, append "-" if needed
12  #>                 \ complete conversion
13  TYPE SPACE          \ display, with trailing space
14  #>> ;              \ release hold area

```

DOS-Latin-1 (CP850)																									
!	"	#	\$	%	&	'	(	)	*	+	,	-	.	/											
0	1	2	3	4	5	6	7	8	9	:	;	<	=	>	?										
@	A	B	C	D	E	F	G	H	I	J	K	L	M	N	O										
P	Q	R	S	T	U	V	W	X	Y	Z	[	\	]	^	_										
`	a	b	c	d	e	f	g	h	i	j	k	l	m	n	o										
p	q	r	s	t	u	v	w	x	y	z	{		}	~											
Ç	ü	é	â	ä	à	å	ç	ê	ë	è	ì	í	î	ï	Ä	Å									
É	æ	Æ	ö	ó	ò	û	ù	ý	ÿ	Ö	Ü	ø	£	Ø	×	f									
á	í	ó	ú	ñ	Ñ	ª	º	¿	¬	½	¼	¿	«	»											
Ł	ł	ł	ł	ł	ł	ł	ł	ł	ł	ł	ł	ł	ł	ł	ł										
ø	ø	ø	ø	ø	ø	ø	ø	ø	ø	ø	ø	ø	ø	ø	ø										
ó	ø	ø	ø	ø	ø	ø	ø	ø	ø	ø	ø	ø	ø	ø	ø										
-	±	=	¼	½	¾	⅓	⅔	⅕	⅖	⅗	⅘	⅙	⅚	⅛	⅜										

Abbildung 2: Umsetzung der ASCII-Zeichensätze

# Print Hex

*Colaboration in Forth Works, Albert Nijhof and Ulrich Hoffmann*

*In this programming pearl ALBERT NIJHOF shows how to print hexadecimal numbers with a given number of digits, even if your Forth system does not provide pictured numeric output by means of <# # #> etc.*

## Idea

In order to print numbers you have to extract the digits one by one and print each digit. A typical written number representation starts with the most significant digit, but extracting is easier starting with the least significant digit, the order of digits needs to be reversed. This could be done by storing the digits either on the data stack or on the return stack and make use of their last in first out property.

## Display a single digit: .1HX

The word `.1HX` (print 1 digit in hex, listing line 5–8) displays a single digit, the last digit of the unsigned number `x`.

Line 6 extracts the least significant nibble of `x` and ignores its more significant part.

To display that nibble as a character the word uses arithmetic with comparison results: The phrase `9 over <` in line 7 compares the nibble with 9. If it is greater than 9 then the phrase results in `-1` (all bits set). If the nibble is not greater than 9 (i.e. 0 to 9) the phrase results in `0` (all bits 0).

`7 and` extracts the least 3 bits. Now we have either 7 or 0, that we add to the nibble itself. This leads to the `nibble+7`, if nibble is greater 9 or to the original nibble value, if it is not greater than 9. This is to bridge the gap in the ASCII character sequence between 9 and A as we see now.

If we look at the ASCII character sequence we see:

```
48 49 50 51 52 53 54 55 56 57
'0' '1' '2' '3' '4' '5' '6' '7' '8' '9'
```

```
58 59 60 61 62 63 64
': ' ; ' < ' = ' > ' ? ' @ '
```

```
65 66
'A' 'B' ...
```

There is a gap between the character 9 and the character A which is 7 characters wide.

Line 8 adds the character value of `'0'` to the intermediate value. Nibbles 0 to 9 will be mapped to character `'0'` to `'9'`. Nibbles 10 to 15 will be mapped (bridging the gap) to character `'A'` to `'F'` as is required for hexadecimal display.

This character is eventually displayed by the `emit` at the end of `.1HX` (line 8).

## Display n digits: .NHX

In order to display complete numbers the word `.NHX` (print n digits in hex) is defined (line 10–13). `x` is the number to display and `n` is the number of digits to show.

Line 10 does some clipping so that `n` is always in the range 1 to 16. This avoids unpleasant surprises of seemingly endless output if the passed `n` happens to be outside that range.

To display complete numbers `.NHX` first iterates `n-1` times (`DO ... LOOP` on line 12) and puts shifted numbers on the stack so that each numbers least significant nibble is one of the nibbles of `x`. The number with the least significant nibble of `x` first, the number with the most significant nibble of `x` on top of stack.

After that the nibbles on the stack are processed in reversed order. They are displayed via `.1HX` (`DO ... LOOP`, line 13) that runs `n` times. `.NHX` ends by printing a space so that consecutive calls to `.NHX` will print numbers space separated.

## No DO LOOP

If your system does not provide `DO LOOP` then you can rewrite the loops using `BEGIN ... WHILE ... REPEAT` or `BEGIN ... UNTIL` as you can see in line 27–29.

Line 26 does parameter clipping of `n` as before.

To avoid stack juggling the first loop (line 28) collects nibbles on the return stack. (That wouldn't have been possible with `DO LOOP` above as the loop parameters block the return stack.)

The second loop (line 29) retrieves the nibbles from the return stack and prints them with `.1HX` as above. When finished it drops the loop parameter. The obligatory space ends the number output (line 29).

## Example output

Lines 18–22 show how to use `.NHX` and what output you can expect. If the number of digits `n` given is less than the actual numbers of digits to completely display `x` then `.NHX` truncates the display showing only the least significant digits. If `n` is larger, then `.NHX` adds leading `'0's`. (Text: ULRICH HOFFMANN)





## Listing

```
1 \ Tools -- Formatted unsigned single hex number output, not using BASE
2 \ an-17jan2022
3
4 decimal
5 : .1HX ( x -- ) \ Print last digit of x in hex
6   15 and \ lowest nibble
7   9 over < 7 and + \ for A..F
8   [char] 0 + emit ;
9
10 : .NHX ( x n -- ) \ Print last n digits of x in hex
11   1 max 16 min >r \ x r: n
12   r@ 1 ?do dup 4 rshift loop \ collect on data stack
13   r> 0 do .1hx loop space ;
14 \ ----- end of code -----
15
16 (*
17 Examples
18 decimal
19 19150 2 .nhx \ CE
20 19150 3 .nhx \ ACE
21 19150 4 .nhx \ 4ACE
22 19150 8 .nhx \ 00004ACE
23
24 \ .NHX version without DO-LOOP
25 : .NHX ( x n -- ) \ Print last n digits of x in hex
26   swap >r 1 max 16 min dup \ n n r: x
27   begin 1- dup while r@ 4 rshift >r \ collect on return stack
28   repeat drop
29   begin r> .1hx 1- dup 0= until drop space ;
30 *)
31 \ <><>
32
```

You can find these and more Forth ideas at [project-forth-works.github.io](https://project-forth-works.github.io). Do you happen to have any Forth ideas? Then please take part in *Project Forth Works*.

---

## Projekt Forth–Buch

In der Forth–Gesellschaft wurde ein Projekt gestartet mit dem Ziel, ein neues Forth–Buch zu erstellen.

Dieses Buch wird von der Forth–Gesellschaft unter einer freien Lizenz (z. B. Creative Commons) veröffentlicht werden und in der ersten Ausgabe Neueinsteiger bei den ersten Schritten mit Forth begleiten.

Das Buch wird sowohl Forth auf Mikrocontrollern (z. B. Mecrisp) als auch Forth auf PC–Systemen (GNU/Forth — Gforth) behandeln. Eine Book–on–Demand Papirausgabe ist geplant.

Die Diskussion rund um die Inhalte des Buches findet im Mattermost Chat<sup>1</sup> statt.

In regelmäßigen Abständen trifft sich das Redaktionsteam Online, um die weiteren Arbeiten an dem Buch zu koordinieren.

Die Quelldateien des Buches finden sich im GitHub–Repository unter <https://github.com/forth-ev/book>

Interessenten an diesem Projekt (Autoren, Grafiker, Leser) nehmen bitte Kontakt auf per E–Mail an das Büro der Forth–Gesellschaft: [secretary@forth-ev.de](mailto:secretary@forth-ev.de)

Beste Grüße, Carsten Strotmann

---

<sup>1</sup><https://chat.forth-standard.org/forth-standard/channels/forth-buch>



## Forth-Gruppen regional

Bitte erkundigt euch bei den Veranstaltern, ob die Treffen stattfinden. Das kann je nach Pandemie-Lage variieren.

**Mannheim** **Thomas Prinz**  
Tel.: (0 62 71) – 28 30<sub>p</sub>  
**Ewald Rieger**  
Tel.: (0 62 39) – 92 01 85<sub>p</sub>  
Treffen: jeden 1. Dienstag im Monat  
**Vereinslokal** Segelverein Mannheim  
e.V. Flugplatz Mannheim-Neustheim

**München** **Bernd Paysan**  
Tel.: (0 89) – 41 15 46 53  
bernd@net2o.de  
Treffen: Jeden 4. Donnerstag im Monat um 19:00 auf <http://public.senfcalls.de/forth-muenchen>, Passwort over+swap.

**Hamburg** **Ulrich Hoffmann**  
Tel.: (04103) – 80 48 41  
uho@forth-ev.de  
Treffen alle 1–2 Monate in loser Folge  
Termine unter: <http://forth-ev.de>

**Ruhrgebiet** **Carsten Strotmann**  
ruhrpott-forth@strotmann.de  
Treffen alle 1–2 Monate im Unperfekthaus Essen  
<http://unperfekthaus.de>.  
Termine unter: <https://www.meetup.com/Essen-Forth-Meetup/>

## Dienste der Forth-Gesellschaft

**Nextcloud** <https://cloud.forth-ev.de>

**GitHub** <https://github.com/forth-ev>

**Twitch** <https://www.twitch.tv/4ther>

**µP-Controller-Verleih** **Carsten Strotmann**  
microcontrollerverleih@forth-ev.de  
mcv@forth-ev.de

## Spezielle Fachgebiete

**Forth-Hardware in VHDL** **Klaus Schleisiek**  
microcore (uCore) Tel.: (0 58 46) – 98 04 00 8<sub>p</sub>  
kschleisiek@freenet.de

**KI, Object Oriented Forth, Sicherheitskritische Systeme** **Ulrich Hoffmann**  
Tel.: (0 41 03) – 80 48 41  
uho@forth-ev.de

**Forth-Vertrieb** **Ingenieurbüro**  
volksFORTH **Klaus Kohl-Schöpe**  
ultraFORTH Tel.: (0 82 66) – 36 09 862<sub>p</sub>  
RTX / FG / Super8  
KK-FORTH

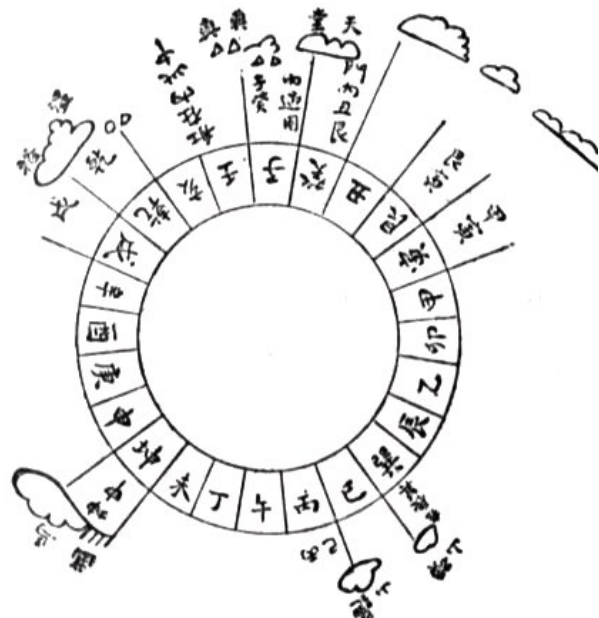
## Termine

Donnerstags ab 20:00 Uhr  
**Forth-Chat net2o** forth@bernd mit dem Key  
keysearch kQusJ, voller Key:  
kQusJzA;7\*?t=uy@X}1GWr!+0qqp\_Cn176t4(dQ\*

Montags ab 20:30 Uhr  
**Forth-Abend**  
Videotreffen (nicht nur) für Forthanfänger  
Info und Teilnahmelink: E-Mail an [wost@ewost.de](mailto:wost@ewost.de)

Jeder 2. Samstag im Monat  
**ZOOM-Treffen der Forth2020 Facebook-Gruppe**  
Infos zur Teilnahme: [www.forth2020.org](http://www.forth2020.org)

Details zu den Terminen unter <http://forth-ev.de>



Möchten Sie gerne in Ihrer Umgebung eine lokale Forthgruppe gründen, oder einfach nur regelmäßige Treffen initiieren? Oder können Sie sich vorstellen, ratsuchenden Forthern zu Forth (oder anderen Themen) Hilfestellung zu leisten? Möchten Sie gerne Kontakte knüpfen, die über die VD und das jährliche Mitgliedertreffen hinausgehen? Schreiben Sie einfach der VD — oder rufen Sie an — oder schicken Sie uns eine E-Mail!

Hinweise zu den Angaben nach den Telefonnummern:  
**Q** = Anrufbeantworter  
**p** = privat, außerhalb typischer Arbeitszeiten  
**g** = geschäftlich  
Die Adressen des Büros der Forth-Gesellschaft e.V. und der VD finden Sie im Impressum des Heftes.



# Nachlese zum Forth–Sommertreffen

M. Kalus

*Unser Forth–Sommertreffen, das neue Format lebhafter Begegnung unerschrockener Forther, hatte dann im Juni tatsächlich stattgefunden. Wir waren im Linux–Hotel in Essen untergebracht (Abb. 1). Zu einem zwanglosen Gedankenaustausch, ohne besondere Ansprüche an Vorträge. So ganz ohne Präsentationen verlief es dann aber doch nicht. Es stellte sich nämlich heraus, dass der eine oder andere was mitgebracht hatte und vorführen wollte. Und so versammelten wir uns abends im kleinen Hörsaal des Linux–Hotels. Tagsüber wurde gefachsimpelt im Linux–Park. Am Samstag gab es eine Exkursion zum Museum Zeche Zollverein.*



Abbildung 1: Auf der Treppe des Linuxhotels.



Abbildung 2: Im Restaurant „The Mine“ auf Zollverein.



Abbildung 3: Auf der Führung durch Zollverein.

Aufzeichnungen der Gespräche und der spontanen Vorführungen gab's keine. Das schlummert nun als kostbarer Schatz in der Erinnerung der Teilnehmer. Eine knappe Liste haben wir aber rekonstruieren können.

JÖRG VÖLKER hat eines seiner Hobbys, die Ton- und Musik-Synthesizer, präsentiert in Bild und Ton. Und hatte eine stolze Sammlung einschlägiger Synthesizer vorgeführt. Alte wie neue, eindrucksvoll. Klar, wer sich da so mit auskennt, geht irgendwann dazu über, Soundmodule selbst herzustellen und zu vertreiben.

WOLFGANG STRAUSS organisierte einen Workshop zum Thema „Uxn Ecosystem“. Die Teilnehmer konnten auf dem eigenen Laptop „nachspielen“, wie es sich anfühlt, Tools zu verwenden, die von zwei Künstlern entwickelt wurden, welche auf einem Segelboot lebend mit geringen Ressourcen auskommen müssen.

Die Exkursion ging diesmal in die Zeche Zollverein. Dieses riesige Gelände ist frei zugänglich, ohne Termine, hat ein großes Museum und Restaurants — Deftiges aus dem Ruhrgebiet, u. a. die klassische Currywurst / Pommes (Abb. 2). Es stellte sich heraus, dass eine Führung durch die Anlage Zollverein und den Förderturm doch nicht ausgebucht war, und so haben wir uns angeschlossen. Ein eindrucksvolles, riesiges Gelände! Man bekam einen lebhaften Eindruck von dem Betrieb, der das mal war (Abb. 3).

Erstaunlich, was für ein Durchsatz da mal Tag und Nacht erreicht worden war. Die modernste und förderstärkste Zeche der Welt war Zollverein. Kommt ihr dort mal in die Gegend: ein Muss!

Was gab's so beim Fachsimpeln? Für mich: ein gutes Gefühl zu den Forth-Leuten, die da waren. Eine illustre Gesellschaft mit enorm viel technischem und auch sonstigem Know-how. Mein Eindruck: Hier ein Grüppchen, dort eines. Jeder schien was mitgenommen zu haben, gute Erfahrungen. Die einzelnen Themen, die da angeschnitten wurden, kenne ich natürlich nicht alle. Lieferschwierigkeiten elektronischer Bauteile und die Sorge um unsere Stromversorgung kam aber mehrmals auf.

Schade, dass man nicht so in der Nähe wohnt und öfters solchen Austausch haben kann. Doch man kann sich ja schreiben und sogar in Videokonferenzen sehen, wenn man möchte. Solche Treffen verbinden.

So hoffe ich auf weitere Treffen dieser Art. Aber auch die gute alte Kongressform soll wiederkommen im nächsten Jahr. Drücken wir die Daumen, dass es gelingt.